

# Invarianti per il Teorema di Poncelet

Giada Giuliani

16 Luglio 2008

# Indice

<b>Introduzione</b>	<b>3</b>
<b>1 Polarità e Apolarità</b>	<b>6</b>
1.1 Polarizzazione e restituzione . . . . .	6
1.2 Polarità . . . . .	12
1.2.1 Il punto di vista moderno . . . . .	13
1.2.2 Notazioni classiche . . . . .	14
1.3 Apolarità e conica duale . . . . .	15
1.4 Triangoli autopolari . . . . .	18
1.5 Coniche circoscritte a triangoli autopolari . . . . .	19
<b>2 Teorema di Poncelet</b>	<b>22</b>
2.1 La Relazione di Poncelet . . . . .	22
2.2 Formula di Riemann-Hurwitz e automorfismi di una curva ellittica . . . . .	24
2.3 Versione generale del Teorema di Poncelet . . . . .	25
<b>3 Equazioni per le Coniche di Poncelet</b>	<b>27</b>
3.1 Il Teorema di Poncelet in $\mathbb{P}^3$ . . . . .	27
3.2 Quadriche in relazione di Poncelet in un fascio . . . . .	30
3.3 Formula di Gerbaldi per il numero di coniche Poncelet n-related	31
3.4 Equazioni per il Teorema di Poncelet . . . . .	34
3.4.1 $SL(3)$ -invarianti . . . . .	34
3.4.2 Equazione per le coniche Poncelet 3-related . . . . .	35
3.4.3 Equazione per le coniche Poncelet 4-related . . . . .	38
3.4.4 Dimostrazioni classiche della formula di Eulero e della formula di Fuss . . . . .	41

<b>A</b>	<b>Richiami di Geometria Algebrica</b>	<b>47</b>
A.1	Varietà Affini e Proiettive . . . . .	47
A.2	Teorema sulla Dimensione delle Fibre . . . . .	50
	<b>Bibliografia</b>	<b>53</b>

# Introduzione

Il *Teorema di Poncelet* è un risultato classico della geometria proiettiva sul piano. Nella figura che segue vediamo un pentagono inscritto nell'ellisse  $\mathcal{D}$  e circoscritto all'ellisse  $\mathcal{C}$ . Il pentagono può essere pensato come una traiettoria chiusa, percorsa periodicamente da un punto. Il teorema afferma che partendo da un qualunque punto di  $\mathcal{D}$ , la traiettoria corrispondente si chiude ancora dopo 5 passi. In generale, questo vale per poligoni di  $n$  lati, con  $n \geq 3$  qualunque. Il pentagono tratteggiato rappresenta un'altra traiettoria.

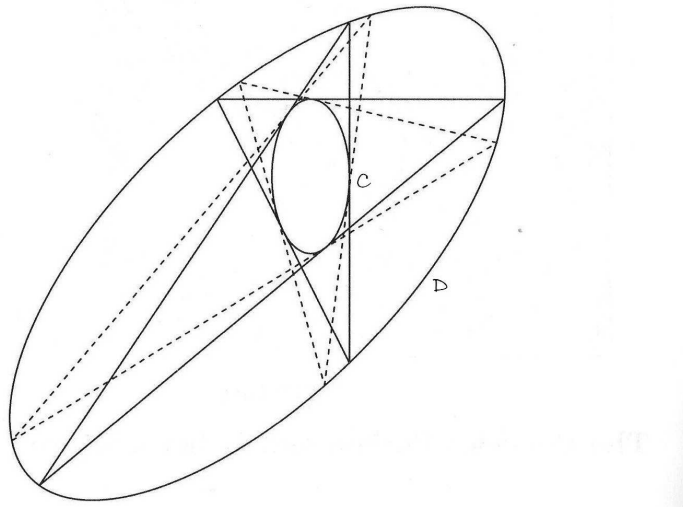


Figura 1: Il Teorema di Poncelet

Tutte le dimostrazioni note del teorema esulano dagli strumenti classici della geometria piana. Sono note dimostrazioni che usano proprietà

degli integrali (crf. [FT]), oppure considerazioni fisiche sull'attrazione gravitazionale. In questa tesi dimostriamo il teorema nell'ambito della *geometria algebrica* utilizzando alcune proprietà delle curve ellittiche, in particolare dei loro automorfismi.

Il punto di vista che abbiamo scelto per inquadrare il teorema è quello della *teoria degli invarianti*. Infatti, la condizione per cui esista un pentagono come nella figura precedente è una condizione sulla coppia di coniche  $(\mathcal{C}, \mathcal{D})$ . Questa condizione è invariante per il gruppo  $SL(3)$  che agisce sul piano proiettivo.

Gli invarianti delle coppie di coniche descritte da matrici  $A$  e  $B$  sono generati, grazie a un teorema fondamentale di teoria degli invarianti (crf. [Dolga1]), dai coefficienti che appaiono nell'equazione

$$\det(A + tB) = \Delta + t\Theta + t^2\Theta' + t^3\Delta'.$$

Qui  $\Delta = \det(A)$  e  $\Delta' = \det(B)$  hanno un significato geometrico ben noto (coniche singolari). Studiamo nel primo capitolo il significato geometrico degli altri invarianti  $\Theta$  e  $\Theta'$ , che è legato al concetto di *apolarità tra coniche*. Questo ci ha dato lo spunto per un richiamo su apolarità e polarità. Abbiamo verificato in particolare un teorema sui triangoli autopolari, che ha uno spirito simile al teorema di Poncelet.

Gli invarianti che intervengono nel teorema di Poncelet sono più complessi e sono espressioni polinomiali in  $\Delta, \Delta', \Theta$  e  $\Theta'$ , che determiniamo per  $n \leq 4$ . La nostra dimostrazione è originale e segue una via diversa da quella esposta per  $n = 3$  in [Dolga2]. Il grado di questi invarianti vale  $\frac{1}{2}T(n)$  rispetto a  $\mathcal{C}$  e  $\frac{1}{4}T(n)$  rispetto a  $\mathcal{D}$ , dove  $T(n)$  è il numero di punti di  $n$ -torsione primitivi di una curva ellittica. Ad esempio,  $T(3) = 8$  e  $T(4) = 12$ . La dimostrazione di questa formula per i gradi necessita lo studio di una versione in  $\mathbb{P}^3$  del teorema di Poncelet per le quadriche. Per questo abbiamo utilizzato l'articolo espositivo di W.Barth e Th.Bauer (crf. [BB]).

Usando la teoria degli invarianti ci riconduciamo a semplici situazioni geometriche con poligoni (triangoli e rettangoli) contemporaneamente inscritti e circoscritti a ellissi.

Il significato invariante delle equazioni ci permette di dare delle applicazioni a due formule classiche, rispettivamente dovute a Eulero e Chapple per i

triangoli e a Fuss per i quadrilateri. Le dimostrazioni che diamo di queste formule sono originali e illustrano la forza della teoria degli invarianti. Per permettere un confronto riportiamo anche le dimostrazioni classiche di queste due formule, prese da [Dorrie], che sono senz'altro più laboriose.

# Capitolo 1

## Polarità e Apolarità

### 1.1 Polarizzazione e restituzione

Sia  $E$  uno spazio vettoriale di dimensione finita su un campo  $K$  e supponiamo che  $\dim E = n + 1$ ,  $n \in \mathbb{N}$ . Indichiamo con  $Pol_m(E)$  lo spazio delle funzioni polinomiali omogenee di grado  $m$  su  $E$ .

**Definizione 1.1.1.** (*Definizione di polinomio omogeneo indipendente dalle coordinate*) Un'applicazione  $P : E \rightarrow K$  è una funzione polinomiale omogenea di grado  $m$  se le seguenti proprietà sono soddisfatte:

i.  $P(tv) = t^m P(v), \forall t \in K;$

ii. la funzione  $pol(P) : E^m \rightarrow K$  definita da

$$pol(P)(v_1, \dots, v_m) = \sum_{I \subset \{1, \dots, m\}} (-1)^{m-\#I} P\left(\sum_{i \in I} v_i\right) \quad (1.1)$$

è multilineare.

Possiamo osservare immediatamente che la funzione  $pol(P)$  è una forma multilineare simmetrica. Inoltre  $P$  può essere ricostruito da  $pol(P)$  mediante la formula

$$m!P(v) = pol(P)(v, \dots, v). \quad (1.2)$$

Infatti

$$pol(P)(v, \dots, v) = \sum_{I \subset \{1, \dots, m\}} (-1)^{m-\#I} P\left(\sum_{i \in I} v\right)$$

$$\begin{aligned}
&= \sum_{k=1}^m \binom{m}{k} (-1)^{m-k} P\left(\sum_{k=1}^m v\right) \\
&= \sum_{k=1}^m \binom{m}{k} (-1)^{m-k} k^m P(v) = m! P(v),
\end{aligned}$$

dove nell'ultima uguaglianza abbiamo utilizzato la seguente formula combinatoria per il fattoriale:

**Proposizione 1.1.1.**

$$m! = \sum_{k=1}^m \binom{m}{k} (-1)^{m-k} k^m$$

*Dimostrazione.*  $m!$  conta il numero di funzioni biunivoche da un insieme di cardinalità  $m$  a un insieme di cardinalità  $m$ , cioè

$$m! = \#\{f : M \rightarrow N : |M|, |N| = m \text{ e } |Imf| = m\}.$$

Poniamo  $A_i = \{f : M \rightarrow N : i \notin Imf\}$  allora

$$m! = m^m - \left| \bigcup_{i=1}^m A_i \right|.$$

Per il principio di inclusione-esclusione abbiamo

$$\begin{aligned}
\left| \bigcup_{i=1}^m A_i \right| &= \sum_{i_1 < \dots < i_k} (-1)^{k+1} |A_{i_1} \cap \dots \cap A_{i_k}| = \sum_{k=1}^{m-1} (-1)^{k+1} \binom{m}{m-k} (m-k)^m \\
&= \sum_{k=1}^{m-1} (-1)^{m-k+1} \binom{m}{k} k^m,
\end{aligned}$$

dove, a parte l'ultimo banale cambio di variabili, abbiamo utilizzato il fatto che l'intersezione  $A_{i_1} \cap \dots \cap A_{i_k}$  contava il numero di funzioni da un insieme di cardinalità  $m$  in un insieme di  $m - k$  elementi. Pertanto

$$m! = m^m + \sum_{k=1}^{m-1} (-1)^{m-k} \binom{m}{k} k^m = \sum_{k=1}^m (-1)^{m-k} \binom{m}{k} k^m.$$

□



La forma multilineare simmetrica  $\text{pol}(P)$  è chiamata *polarizzazione di  $P$* .

**Definizione 1.1.2.** Sia  $F : E^m \rightarrow K$  una forma multilineare simmetrica. La funzione  $\text{res}(F) : E \rightarrow K$  definita da

$$\text{res}(F)(v) = F(v, \dots, v) \quad (1.3)$$

è chiamata *restituzione di  $F$* .

Con passaggi analoghi a quelli fatti per ricavare la formula (1.2), si può dimostrare la formula

$$\text{pol}(\text{res}(F))(v, \dots, v) = m!F(v, \dots, v).$$

Applicando poi il teorema che segue riusciamo anche a ricavare

$$\text{pol}(\text{res}(F))(v_1, \dots, v_m) = m!F(v_1, \dots, v_m). \quad (1.4)$$

Abbiamo quindi che  $\text{res}(F)$  soddisfa le proprietà (i) e (ii) della definizione 1.1.1, cioè che  $\text{res}(F) \in \text{Pol}_m(E)$ . Prima di dimostrare il teorema che porta alla formula (1.4) osserviamo che lavorando spesso con campi di caratteristica zero lo spazio  $\text{Pol}_m(E)$  si può identificare con  $S^m E$ , ossia con lo spazio vettoriale dei polinomi omogenei di grado  $m$ .

**Teorema 1.1.1.** Siano  $F, G : E^m \rightarrow K$  due forme multilineari simmetriche. Se  $F(v, \dots, v) = G(v, \dots, v) \forall v \in E$  allora  $F = G$ .

*Dimostrazione.* Dimostriamo che se  $F(v, \dots, v) = 0 \forall v \in E$  allora  $F = 0$ . Consideriamo l'insieme delle potenze  $m$ -esime di polinomi lineari, cioè

$$W = \left\{ \sum_{i=0}^n \lambda_i l_i^m \mid \lambda_i \in K, l_i \in E \right\} = \langle l^m \mid l \in E \rangle.$$

Ovviamente si ha che  $W \subseteq S^m E$ . In realtà dimostreremo che vale proprio l'uguale in questa inclusione.

Se per assurdo  $W \subsetneq S^m E$  allora esisterebbe un iperpiano che contiene  $W$ . Indichiamo con  $\{x_0^m, x_0^{m-1}x_1, \dots\}$  la base di  $S^m E$ . Allora l'equazione di questo iperpiano è

$$\sum_{i_0+\dots+i_n=m} a_{i_0\dots i_n} \partial x_0^{i_0} \dots \partial x_n^{i_n} = 0,$$

con  $i_0 \leq i_1 \leq \dots \leq i_n$ . Sia  $l = \sum_{i=0}^n c_i x_i$ , quindi

$$l^m = \sum_{j_0 + \dots + j_n = m} c_0^{j_0} \dots c_n^{j_n} x_0^{j_0} \dots x_n^{j_n}.$$

In particolare sappiamo però che l'iperpiano contiene  $l^m$  e questo significa che

$$\sum a_{i_0 \dots i_n} c_0^{j_0} \dots c_n^{j_n} = 0, \quad \forall c_i.$$

L'unica possibilità è che tutti gli  $a_{i_k}$ , con  $k = 0 \dots n$ , siano nulli, ma questa è una contraddizione. Quindi abbiamo che  $W = S^m E$ . Poiché vale quest'ultima uguaglianza possiamo concludere la dimostrazione osservando che

$$F\left(\sum_i \lambda_i l_i^m\right) = \sum_i \lambda_i F(l_i^m) = 0,$$

infatti  $F(l_i^m) = F(l_i, \dots, l_i)$  è zero per ipotesi. □

Se  $\text{char}(K) = 0$ , otteniamo che ogni  $P \in \text{Pol}_m(E)$  è uguale alla restituzione di un'unica forma  $m$ -multilineare simmetrica, e precisamente

$$\text{res}\left(\frac{1}{m!} \text{pol}(P)\right) = P. \quad (1.5)$$

Vediamo a questo punto alcuni esempi, in cui scegliamo  $\dim E = 2$  per semplificare i calcoli.

**Esempio 1.1.1.** Siano  $v = (x_0, x_1)$ ,  $w = (y_0, y_1) \in E$  e sia  $P \in \text{Pol}_2(E)$  una forma quadratica in due variabili

$$P = a_0 x_0^2 + 2a_1 x_0 x_1 + a_2 x_1^2.$$

Dalla formula (1.1) abbiamo che

$$\text{pol}(P)(v, w) = P(v+w) - P(v) - P(w) = 2a_0 x_0 y_0 + 2a_1 x_0 y_1 + 2a_1 x_1 y_0 + 2a_2 x_1 y_1,$$

che è proprio una forma bilineare simmetrica. Inoltre si verifica facilmente che vale la formula (1.2), cioè  $2P(v) = \text{pol}(P)(v, v)$ .

**Esempio 1.1.2.** Prendiamo ora  $m = 3$ . Per  $P \in \text{Pol}_3(E)$  e  $v_1 = (x_0, x_1)$ ,  $v_2 = (y_0, y_1)$ ,  $v_3 = (z_0, z_1) \in E$  abbiamo dalla (1.1)

$$\begin{aligned} \text{pol}(P)(v_1, v_2, v_3) &= P(v_1) + P(v_2) + P(v_3) - P(v_1 + v_2) - P(v_2 + v_3) - P(v_1 + v_3) \\ &\quad + P(v_1 + v_2 + v_3). \end{aligned}$$

Scegliamo

$$P = x_0^3 + x_0^2 x_1;$$

con un pò di semplici calcoli si ricava

$$\text{pol}(P)(v_1, v_2, v_3) = 6x_0 y_0 z_0 + 2x_0 y_0 z_1 + 2x_1 y_0 z_0 + 2x_0 y_1 z_0,$$

forma trilineare simmetrica su  $E$ . Consideriamo ora  $F : E \times E \times E \rightarrow K$ , forma trilineare simmetrica definita come

$$F(v_1, v_2, v_3) = x_0 y_1 z_1 + x_1 y_0 z_1 + x_1 y_1 z_0,$$

e applichiamo la formula (1.3); otteniamo

$$\text{res}(F)(v_1) = F(v_1, v_1, v_1) = 3x_0 x_1^2 \in \text{Pol}_3(E).$$

Osserviamo che

$$\text{pol}(\text{res}(F))(v_1, v_2, v_3) = 6x_0 y_1 z_1 + 6x_1 y_0 z_1 + 6x_1 y_1 z_0 = 3!F(v_1, v_2, v_3),$$

che è proprio la formula (1.4). Per concludere osserviamo che vale l'uguaglianza (1.5); infatti, utilizzando il polinomio  $P$  precedente abbiamo

$$\begin{aligned} \text{res}\left(\frac{1}{6}\text{pol}(P)\right)(v_1) &= \text{res}\left(x_0 y_0 z_0 + \frac{1}{3}x_0 y_0 z_1 + \frac{1}{3}x_1 y_0 z_0 + \frac{1}{3}x_0 y_1 z_0\right)(v_1) \\ &= x_0^3 + x_0^2 x_1 = P(v_1). \end{aligned}$$

Supponiamo che  $P$  sia uguale al prodotto di  $m$  forme lineari,  $P = L_1 \dots L_m$ . Allora abbiamo

$$\text{pol}(P)(v_1, \dots, v_m) = \sum_{I \subset \{1, \dots, m\}} (-1)^{m-\#I} L_1 \dots L_m \left( \sum_{i \in I} v_i \right)$$

$$\begin{aligned}
&= \sum_{I \subset \{1, \dots, m\}} (-1)^{m-\#I} L_1 \left( \sum_{i \in I} v_i \right) \dots L_m \left( \sum_{i \in I} v_i \right) \\
&= \sum_{I \subset \{1, \dots, m\}} (-1)^{m-\#I} \left( \sum_{i \in I} L_1(v_i) \right) \dots \left( \sum_{i \in I} L_m(v_i) \right) \\
&= \sum_{\sigma \in \Sigma_m} L_1(v_{\sigma(1)}) \dots L_m(v_{\sigma(m)}) = \sum_{\sigma \in \Sigma_m} L_{\sigma(1)}(v_1) \dots L_{\sigma(m)}(v_m).
\end{aligned}$$

Sia  $(\xi_0, \dots, \xi_n)$  una base di  $E$  e  $(t_0, \dots, t_n)$  una base di  $E^\vee$ . Ogni  $v \in E$  può essere scritto in modo unico come  $v = \sum_{i=0}^n t_i(v) \xi_i$ . Sia  $Sym_m(E)$  lo spazio vettoriale delle forme  $m$ -multilineari simmetriche su  $E^m$ .  $\forall v_1, \dots, v_m \in E$  e  $\forall F \in Sym_m(E)$  abbiamo

$$\begin{aligned}
F(v_1, \dots, v_m) &= F \left( \sum_{i=0}^n t_i(v_1) \xi_i, \dots, \sum_{i=0}^n t_i(v_m) \xi_i \right) \\
&= \sum_{i_1, \dots, i_m=0}^n t_{i_1}(v_1) \dots t_{i_m}(v_m) F(\xi_{i_1}, \dots, \xi_{i_m}).
\end{aligned}$$

Prendendo  $v_1 = \dots = v_m = v$ , otteniamo che

$$\begin{aligned}
\text{res}(F)(v) &= \sum_{i_1, \dots, i_m=0}^n t_{i_1}(v) \dots t_{i_m}(v) F(\xi_{i_1}, \dots, \xi_{i_m}) \\
&= \left( \sum_{i_1, \dots, i_m=0}^n a_{i_1 \dots i_m} t_{i_1} \dots t_{i_m} \right) (v),
\end{aligned}$$

dove abbiamo posto  $a_{i_1 \dots i_m} = F(\xi_{i_1}, \dots, \xi_{i_m})$ . Quindi ogni  $P \in Pol_m(E)$  può essere scritto in modo unico come somma di monomi della forma  $t_{i_1} \dots t_{i_m}$ . E questa è proprio la **definizione di polinomio omogeneo dipendente dalle coordinate**.

Inoltre, tramite la funzione polarizzazione possiamo definire gli isomorfismi

$$Pol_m(E)^\vee \cong Pol_m(E^\vee) \text{ e } Pol_m(E^\vee)^\vee \cong Pol_m(E).$$

## 1.2 Polarità

Sia  $\mathcal{C}$  una conica liscia in  $\mathbb{P}^2(E)$  di equazione  $x^t Ax = 0$ , dove  $A$  è una matrice simmetrica  $3 \times 3$  e  $x = \begin{pmatrix} x_0 \\ x_1 \\ x_2 \end{pmatrix}$ .

Sia  $y = \begin{pmatrix} y_0 \\ y_1 \\ y_2 \end{pmatrix} \in \mathbb{P}^2(E)$ .

**Definizione 1.2.1.** La polare del punto  $y$  rispetto a  $\mathcal{C}$  è la retta  $r_y$  di equazione

$$y^t Ax = 0$$

e  $y$  si chiama polo di  $r_y$ .

**Osservazione 1.2.1.**

$$y \in r_y \Leftrightarrow y^t Ay = 0 \Leftrightarrow y \in \mathcal{C}$$

e in tal caso  $r_y$  è la tangente in  $y$  a  $\mathcal{C}$ .

Infatti: preso un punto  $x \in \mathbb{P}^2(E)$ , la retta  $s$  tra  $x$  e  $y$  la posso parametrizzare con  $y + \lambda x$ ;  $s \cap \mathcal{C}$  è l'insieme dei punti di  $s$  determinati dai valori di  $\lambda$  tale che

$$(y + \lambda x)^t A(y + \lambda x) = 0,$$

cioè

$$y^t Ay + 2\lambda x^t Ay + \lambda^2 x^t Ax = 0.$$

Poiché vogliamo come unica soluzione  $\lambda = 0$ , si ottiene  $x^t Ay = 0$ , cioè  $y$  appartiene alla polare  $r_y$ .

Abbiamo visto che se  $y \in \mathcal{C}$  la polare di  $y$  è proprio la retta tangente; vediamo come è fatta la polare di un punto  $y$  qualsiasi.

**Proposizione 1.2.1.** Siano  $z_1$  e  $z_2$  i punti in cui le tangenti da  $y$  a  $\mathcal{C}$  incontrano  $\mathcal{C}$ . Allora la retta per  $z_1$  e  $z_2$  è la polare di  $y$ .

*Dimostrazione.*

$$y \in \text{polare di } z_1 \Rightarrow y^t Az_1 = 0$$

e

$$y \in \text{polare di } z_2 \Rightarrow y^t Az_2 = 0,$$

quindi  $y^t Ax = 0$  ha come soluzioni combinazioni lineari di  $z_1$  e  $z_2$ .

□

**Teorema 1.2.1. (Legge di reciprocità polare)**

$$y \in \text{polare di } z \Leftrightarrow z \in \text{polare di } y.$$

Come immediata conseguenza di questo teorema si ha che data una retta  $l$  esiste uno ed un solo punto  $y$  che sia polo di  $l$ : infatti tutte le polari dei punti di  $l$  si incontrano in un solo punto.

### 1.2.1 Il punto di vista moderno

- *Grado 2*

Nel caso  $m = 2$  sappiamo dall'algebra lineare che data  $F : E \times E \rightarrow K$  forma bilineare simmetrica, la forma quadratica  $Q$  associata a  $F$  è definita da

$$Q(v) = F(v, v), \text{ con } v \in E.$$

Viceversa se  $Q : E \rightarrow K$  è una forma quadratica, l'applicazione  $F : E \times E \rightarrow K$  definita dalla formula

$$F(u, v) = Q(u + v) - Q(u) - Q(v), \quad u, v \in E \quad (1.6)$$

è una forma bilineare simmetrica.

**Definizione 1.2.2.** La polare del punto  $u$  rispetto a  $F$  è  $F(v, u) = 0$ .

Ricordiamo che in alcuni testi di algebra lineare nella formula (1.6) si trova un fattore  $\frac{1}{2}$  a moltiplicare. Abbiamo preferito eliminare questo fattore uniformandoci alle notazioni di [Dolga1], altrimenti nella formula (1.4) dovremmo togliere il fattore  $m!$ . Si tratta solo di una convenzione, infatti nell'ambiente proiettivo due polinomi che differiscono a meno di una costante moltiplicativa possono essere identificati.

- *Grado  $m$*

Generalizzando gli esempi 1.1.1 e 1.1.2 posso associare, in maniera unica, ad ogni polinomio omogeneo  $P$  di grado  $m$  una forma simmetrica multilineare  $F : E^m \rightarrow K$ , tramite la funzione polarizzazione di  $P$ , cioè

$$\text{pol}(P)(v_1, \dots, v_m) = F(v_1, \dots, v_m), \quad v_i \in E.$$

Viceversa, ad ogni forma simmetrica multilineare  $F$  posso associare un polinomio omogeneo  $P \in \text{Pol}_m(E)$  tramite la funzione restituzione di  $F$ ,

$$\text{res}(F)(v) = P(v), \quad v \in E.$$

**Definizione 1.2.3.**  $F(\underbrace{v, \dots, v}_{m-1}, u) = 0$  è la 1° polare del punto  $u$  rispetto a  $F$ . La 2° polare di  $u$  è  $F(\underbrace{v, \dots, v}_{m-2}, u, u) = 0$ , e così via fino alla (m-1)-esima polare.

Analogamente al caso di grado 2 vale il **teorema di reciprocità polare**:

$$y \in i\text{-esima polare di } z \Leftrightarrow z \in (m-i)\text{-esima polare di } y$$

e entrambe corrispondono a  $F(\underbrace{z, \dots, z}_{m-i}, \underbrace{y, \dots, y}_i) = 0$ .

## 1.2.2 Notazioni classiche

Sia  $x \in \mathbb{P}^n(E)$ . Indichiamo  $F(x, \dots, x) = f(x)$ . Preso un punto  $p \in \mathbb{P}^n(E)$  definiamo l'operatore  $\Delta_p^s = \left( \sum_{i=0}^n p_i \frac{\partial}{\partial x_i} \right)^{(s)}$ , dove l'apice (s) significa composto  $s$  volte con se stesso.

**Definizione 1.2.4.** La 1° polare di  $p$  è  $\Delta_p f(x) = \left( \sum_{i=0}^n p_i \frac{\partial f(x)}{\partial x_i} \right) = 0$ . In generale l' $s$ -esima polare di  $p$  è  $\Delta_p^s f(x) = \left( \sum_{i=0}^n p_i \frac{\partial}{\partial x_i} \right)^{(s)} f(x) = 0$ .

Consideriamo  $n = 2$ . Sia  $\deg(f) = k$  e siano  $x = \frac{x_1}{x_0}$  e  $y = \frac{x_2}{x_0}$ . Allora

$$f(x_0, x_1, x_2) = x_0^k f(1, x, y).$$

Calcoliamo le derivate di  $f$  rispetto alle 3 coordinate:

$$\frac{\partial f}{\partial x_0} = x_0^{k-1} \left[ kG(x, y) - \left( \frac{\partial G}{\partial x} x + \frac{\partial G}{\partial y} y \right) \right],$$

$$\frac{\partial f}{\partial x_1} = x_0^{k-1} \frac{\partial G}{\partial x} \quad \text{e} \quad \frac{\partial f}{\partial x_2} = x_0^{k-1} \frac{\partial G}{\partial y},$$

dove  $G(x, y) = f(1, x, y)$ . Sia  $p = (p_0, p_1, p_2) = p_0(1, \tilde{x}, \tilde{y})$  con  $\tilde{x} = \frac{p_1}{p_0}$  e  $\tilde{y} = \frac{p_2}{p_0}$ . Allora la 1° polare di  $p$  è  $\frac{\partial f}{\partial x_0}(x)p_0 + \frac{\partial f}{\partial x_1}(x)p_1 + \frac{\partial f}{\partial x_2}(x)p_2 = 0$ . Sostituendo i

valori ottenuti per le derivate e facendo semplici calcoli otteniamo la seguente equazione della 1° polare:

$$p_0 x_0^{k-1} \left[ kG(x, y) + \left( \frac{\partial G}{\partial x}(x - \tilde{x}) + \frac{\partial G}{\partial y}(y - \tilde{y}) \right) \right] = 0.$$

Quindi, come conclusione abbiamo che la 1° polare di  $p$ , se  $p$  appartiene alla cubica, coincide proprio con lo sviluppo di Taylor di  $G(x, y)$  arrestato al 1° ordine.

Con queste notazioni possiamo riscrivere il **teorema di reciprocità polare** nel modo seguente:

$$\frac{1}{s!} \Delta_p^s f(q) = \frac{1}{(k-s)!} \Delta_q^{k-s} f(p).$$

### 1.3 Apolarità e conica duale

Sia  $V$  uno spazio vettoriale su  $K$  di dimensione 3 e  $V^\vee$  lo spazio duale. Sia  $A$  la matrice simmetrica associata ad una conica non singolare  $\mathcal{C}$  in  $\mathbb{P}(V)$ . Possiamo definire la *conica duale*  $\mathcal{C}^\vee$  di  $\mathcal{C}$  come una nuova conica in  $\mathbb{P}(V^\vee)$  costituita dalle rette tangenti alla conica  $\mathcal{C}$ . In generale si può parlare di curva duale, ma solo nel caso delle coniche in  $\mathbb{P}(V)$ , la curva duale è ancora una conica in  $\mathbb{P}(V^\vee)$ . Possiamo dimostrarlo sinteticamente, provando che ogni retta in  $\mathbb{P}(V^\vee)$  interseca  $\mathcal{C}^\vee$  esattamente in due punti: infatti una retta in  $\mathbb{P}(V^\vee)$  corrisponde ad un punto in  $\mathbb{P}(V)$ , e tra tutte le rette passanti per questo punto solo due sono le tangenti a  $\mathcal{C}$  in  $\mathbb{P}(V)$ . Inoltre possiamo osservare che la conica duale ha come matrice associata proprio la matrice  $A^{-1}$ . Per vederlo, sia  $\mathcal{C}$  di equazione  $x^t A x = 0$  e  $x = (x_0, x_1, x_2)$  un punto su  $\mathcal{C}$ . La retta tangente al punto  $x$  è

$$\{y = (y_0, y_1, y_2) \in \mathbb{P}(V) : x^t A y = 0\}.$$

Sia  $\alpha = (\alpha_0, \alpha_1, \alpha_2)$  tale che  $\alpha^t = x^t A$ ; allora la retta tangente può essere scritta in forma esplicita come

$$\{y : y_0 \alpha_0 + y_1 \alpha_1 + y_2 \alpha_2 = 0\}.$$

Possiamo così concludere che  $\alpha$  è il punto in  $\mathbb{P}(V^\vee)$  che corrisponde alla retta tangente. Quindi per verificare che  $A^{-1}$  è la matrice associata alla conica duale basta provare che  $\alpha^t A^{-1} \alpha = 0$ ; e infatti

$$\alpha^t A^{-1} \alpha = x^t A A^{-1} A^t x = x^t A x = 0.$$



Inoltre, l'operatore del secondo ordine

$$(\partial_0, \partial_1, \partial_2)A^{-1} \begin{pmatrix} \partial_0 \\ \partial_1 \\ \partial_2 \end{pmatrix}$$

non dipende dal cambio di coordinate. Sia  $\mathbf{x} = g\mathbf{x}'$  in  $\mathbb{P}(V)$ , con  $g \in SL(3)$ , allora la matrice  $A'$ , nelle nuove coordinate, è

$$A' = g^t A g;$$

poiché  $(\partial_0, \partial_1, \partial_2)$  è la base duale di  $(x_0, x_1, x_2)$ , abbiamo

$$(x_0, x_1, x_2) \begin{pmatrix} \partial_0 \\ \partial_1 \\ \partial_2 \end{pmatrix} = I = (x'_0, x'_1, x'_2) \begin{pmatrix} \partial'_0 \\ \partial'_1 \\ \partial'_2 \end{pmatrix}$$

da cui otteniamo facilmente

$$\begin{pmatrix} \partial_0 \\ \partial_1 \\ \partial_2 \end{pmatrix} = (g^{-1})^t \begin{pmatrix} \partial'_0 \\ \partial'_1 \\ \partial'_2 \end{pmatrix}.$$

Quindi, ricordando che  $A^{-1} = g(A')^{-1}g^t$ , abbiamo che

$$\begin{aligned} (\partial_0, \partial_1, \partial_2)A^{-1} \begin{pmatrix} \partial_0 \\ \partial_1 \\ \partial_2 \end{pmatrix} &= (\partial'_0, \partial'_1, \partial'_2)g^{-1}g(A')^{-1}g^t(g^{-1})^t \begin{pmatrix} \partial'_0 \\ \partial'_1 \\ \partial'_2 \end{pmatrix} \\ &= (\partial'_0, \partial'_1, \partial'_2)(A')^{-1} \begin{pmatrix} \partial'_0 \\ \partial'_1 \\ \partial'_2 \end{pmatrix}. \end{aligned}$$

**Definizione 1.3.1.** *La conica  $x^t A x = 0$  si dice apolare alla conica  $x^t B x = 0$  se*

$$(\partial_0, \partial_1, \partial_2)B^{-1} \begin{pmatrix} \partial_0 \\ \partial_1 \\ \partial_2 \end{pmatrix} (x^t A x) = 0$$

Indichiamo con  $A$  e  $B$  rispettivamente le coniche di equazione  $x^t A x = 0$  e  $x^t B x = 0$ .

**Proposizione 1.3.1.**  $A$  è apolare a  $B \Leftrightarrow \text{tr}(B^{-1}A) = 0$ .

*Dimostrazione.* Questo viene semplicemente esplicitando la definizione di conica apolare: infatti, se con  $a_{ij}$  e  $b_{ij}^{-1}$  indichiamo rispettivamente i coefficienti di posto  $ij$  delle matrici  $A$  e  $B^{-1}$ , abbiamo

$$\begin{aligned} (\partial_0, \partial_1, \partial_2)B^{-1} \begin{pmatrix} \partial_0 \\ \partial_1 \\ \partial_2 \end{pmatrix} (x^t Ax) &= \sum_{i,j=0}^2 b_{ij}^{-1} \partial_i \partial_j \left( \sum_{k,h=0}^2 a_{kh} x_k x_h \right) \\ &= \sum_{i,j=0}^2 b_{ij}^{-1} a_{ij} = \text{tr}(B^{-1}A), \end{aligned}$$

dove nella penultima uguaglianza abbiamo utilizzato il fatto che  $(\partial_0, \partial_1, \partial_2)$  è la base duale di  $(x_0, x_1, x_2)$ . □

L'invariante  $\text{tr}(B^{-1}A)$  della proposizione 1.3.1 appare in modo naturale nella seguente costruzione:

**Proposizione 1.3.2.** Siano  $A$  e  $B$  due coniche in  $\mathbb{P}^2(V)$ . Allora

$$\det(A + tB) = \det A + t\sigma_1(A, B) + t^2\sigma_2(A, B) + \det(B)t^3,$$

dove  $\sigma_1(A, B) = \det(A)\text{tr}(A^{-1}B) = \text{tr}(B \cdot \text{adj}(A))$ ,  
 $\sigma_2(A, B) = \det(B)\text{tr}(B^{-1}A) = \text{tr}(A \cdot \text{adj}(B))$  e  $\text{adj}(A) \cdot A = \det(A)I$ .

*Dimostrazione.* Siano  $\lambda_1, \lambda_2, \lambda_3$  gli autovalori della matrice  $A$ , allora

$$(t + \lambda_1)(t + \lambda_2)(t + \lambda_3) = \det(A + tI) = \sigma_0(A, I) + t\sigma_1(A, I) + t^2\sigma_2(A, I) + \sigma_3(A, I)t^3.$$

Dalla precedente uguaglianza si ricava che

$$\sigma_0(A, I) = \lambda_1\lambda_2\lambda_3 = \det(A),$$

$$\sigma_1(A, I) = \lambda_1\lambda_2 + \lambda_1\lambda_3 + \lambda_2\lambda_3 = \lambda_1\lambda_2\lambda_3 \left( \frac{1}{\lambda_3} + \frac{1}{\lambda_2} + \frac{1}{\lambda_1} \right) = \det(A)\text{tr}(A^{-1}),$$

$$\sigma_2(A, I) = \lambda_1 + \lambda_2 + \lambda_3 = \text{tr}(A) \text{ e } \sigma_3(A, I) = 1.$$

Poiché

$$\det(A + tB) = \det(B(B^{-1}A + tI)) = \det B \det(B^{-1}A + tI)$$

basta applicare i risultati precedenti alla matrice  $B^{-1}A$ . Otteniamo quindi

$$\begin{aligned} \det(A + tB) &= \det(B)[\det(B^{-1}A) + t \det(B^{-1}A) \operatorname{tr}(A^{-1}B) + t^2 \operatorname{tr}(B^{-1}A) + t^3] \\ &= \det(A) + t \det(A) \operatorname{tr}(A^{-1}B) + t^2 \det(B) \operatorname{tr}(B^{-1}A) + t^3 \det(B). \end{aligned}$$

□

**Corollario 1.3.1.**  *$A$  è apolare a  $B \Leftrightarrow \det(A + tB)$  non ha il termine di 2° grado in  $t$ . Viceversa,  $B$  è apolare a  $A \Leftrightarrow \det(A + tB)$  non ha il termine di 1° grado in  $t$ .*

In generale, se  $A$  e  $B$  stanno in  $\mathbb{P}^n(V)$  si ricava con passaggi analoghi a quelli precedenti una decomposizione simile per  $\det(A + tB)$ :

$$\det(A + tB) = \det A + t\sigma_1(A, B) + \dots + t^n \sigma_n(A, B) + \det(B)t^{n+1},$$

dove però in questo caso i  $\sigma_i(A, B)$  hanno una forma più complicata, comunque legata a quella dei polinomi simmetrici elementari.

## 1.4 Triangoli autopolari

Sia  $\mathcal{C}$  una conica non singolare. Per ogni punto  $a \in \mathbb{P}^2$  la 1° polare di  $a$  rispetto a  $\mathcal{C}$  è una retta, la *retta polare di  $a$* . Abbiamo già osservato che per ogni retta  $l$  esiste un unico punto  $a$  tale che la 1° polare di  $a$  rispetto a  $\mathcal{C}$  è  $l$ . Il punto  $a$  considerato come una retta nel piano duale è la retta polare del punto  $l$  rispetto alla conica duale di  $\mathcal{C}$ .

**Definizione 1.4.1.** *Un insieme di tre rette  $l_1, l_2, l_3$  è chiamato triangolo autopolare rispetto a  $\mathcal{C}$  se ogni  $l_i$  è la retta polare rispetto a  $\mathcal{C}$  del punto di intersezione delle altre due rette.*

**Definizione 1.4.2.** *Siano  $l_1, l_2, l_3$  i tre lati di un triangolo. I poli dei lati sono i vertici di un altro triangolo chiamato triangolo polare (o coniugato). I suoi lati sono le rette polari dei vertici del triangolo originale.*

Chiaramente, un triangolo è uguale al suo polare se e solo se è un triangolo autopolare. Tutto questo può essere generalizzato a quadriche non singolari in  $\mathbb{P}^n$  per  $n$  arbitrario, anche se non è per niente banale, poiché dovremmo introdurre i semplici.

**Teorema 1.4.1.**  *$A$  è apolare a  $B \Leftrightarrow A$  è circoscritta ad un triangolo autopolare rispetto a  $B$ .*

*Dimostrazione.* Sia  $T$  un triangolo autopolare rispetto a  $B$  e siano  $P_i$  i vettori colonna corrispondenti ai tre vertici. Allora  $P_j^t B P_i = 0$  per  $i \neq j$ . Denotando con  $P$  la matrice  $3 \times 3$  che ha i  $P_i$  come colonne, possiamo aggiustare le costanti in modo che  $P^t B P = I$ , cioè

$$B = (P^t)^{-1} P^{-1}.$$

Se  $A$  è circoscritta a  $T$  abbiamo  $P_i^t A P_i = 0$  per ogni  $i$ . Quindi

$$\text{tr}(B^{-1}A) = \text{tr}(P P^t A) = \text{tr}((P)(P^t A)) = \text{tr}((P^t A)(P)) = \text{tr}(P^t A P) = 0.$$

□

## 1.5 Coniche circoscritte a triangoli autopolari

Riprendiamo il teorema 1.4.1,  $A$  è apolare a  $B$  se e solo se  $A$  è circoscritta ad un triangolo autopolare rispetto a  $B$ , e analizziamo più a fondo questa condizione.

Sia  $B$  una conica fissata e  $\mathcal{A}$  l'insieme dei triangoli autopolari rispetto a  $B$ ; allora, dalla definizione di triangolo autopolare rispetto ad una conica abbiamo che

$$\mathcal{A} = \{(x, y, z) \in \mathbb{P}^2 \times \mathbb{P}^2 \times \mathbb{P}^2 \mid \langle x, y \rangle = r_z, \langle y, z \rangle = r_x, \langle x, z \rangle = r_y\},$$

dove  $r_x, r_y, r_z$  sono rispettivamente le polari di  $x, y, z$  rispetto a  $B$ . In pratica però quando costruiamo un triangolo autopolare sono sufficienti meno condizioni sui tre vertici; vale infatti la seguente proposizione

**Proposizione 1.5.1.** *Sia  $B$  una conica e  $x$  un punto del piano. Se scelgo  $y \in r_x$ ,  $y \neq x$  e  $z = r_x \cap r_y$ , con  $r_x, r_y$  polari rispettivamente di  $x$  e  $y$  rispetto a  $B$ , allora  $x, y, z$  sono i vertici di un triangolo autopolare rispetto a  $B$ .*

*Dimostrazione.* Poiché  $y \in r_x$ , per il teorema di reciprocità polare si ha che  $x \in r_y$ . Inoltre  $z = r_x \cap r_y$ , quindi  $z \in r_x$  e  $z \in r_y$ , e per il teorema di reciprocità polare abbiamo che  $x \in r_z$  e  $y \in r_z$ , dove  $r_z$  è la polare di  $z$  rispetto a  $B$ . Le rette  $r_x, r_y, r_z$  sono quindi i lati di un triangolo autopolare.  $\square$

Possiamo quindi scrivere  $\mathcal{A}$  nella forma

$$\mathcal{A} = \{(x, y, z) \in \mathbb{P}^2 \times \mathbb{P}^2 \times \mathbb{P}^2 \mid x \neq y, y \in r_x, z = r_x \cap r_y\}.$$

Definiamo poi la *varietà di bandiera*  $\mathbb{F}(0, 1, 2) = \mathbb{F} \subseteq \mathbb{P}^2 \times \mathbb{P}^2$  come

$$\mathbb{F} = \{(x, y) \mid y \in r_x\},$$

e chiamiamo  $\alpha : \mathbb{F} \rightarrow \mathbb{P}^2$  la proiezione di  $\mathbb{F}$  sulla prima componente. Si può osservare facilmente che  $\alpha$  è suriettiva e che se  $x \in \mathbb{P}^2$  la fibra  $\alpha^{-1}(x)$  è isomorfa a  $\mathbb{P}^1$ ; quindi applicando la parte 2) del Teorema sulla Dimensione delle fibre A.2.1 otteniamo che  $\dim \mathbb{F} = 3$ . Sia ora  $\gamma : \mathcal{A} \rightarrow \mathbb{F}$ , la funzione che associa a  $(x, y, z) \in \mathcal{A}$  la coppia  $(x, y) \in \mathbb{F}$  e mettiamoci nell'aperto di  $\mathbb{F}$  in cui  $x \neq y$ ; anche  $\gamma$  è una funzione suriettiva e per ogni coppia  $(x, y)$  si ha che  $\gamma^{-1}((x, y))$  è un solo punto, cioè  $\gamma$  è iniettiva.  $\gamma$  è perciò un isomorfismo, e quindi anche  $\dim \mathcal{A} = 3$ . Consideriamo  $\mathbb{P}^5$  come lo spazio che parametrizza le coniche e sia  $\mathcal{Q} \subseteq \mathcal{A} \times \mathbb{P}^5$  una *varietà di incidenza* definita da

$$\mathcal{Q} = \{(T, \mathcal{C}) \mid \mathcal{C} \text{ è circoscritta a } T\}.$$

Siano  $\pi_1$  e  $\pi_2$  le proiezioni di  $\mathcal{Q}$ , rispettivamente su  $\mathcal{A}$  e su  $\mathbb{P}^5$ , e cerchiamo di calcolare la dimensione di  $\mathcal{Q}$  utilizzando di nuovo il teorema A.2.1. Per prima cosa osserviamo che la fibra di  $\pi_1$  è

$$\pi_1^{-1}(T) = \{\mathcal{C} \mid \mathcal{C} \text{ è circoscritta a } T\},$$

quindi poiché  $\mathcal{C} \simeq \mathbb{P}^5$  e  $\dim \mathcal{A} = 3$  si ha che  $\pi_1^{-1}(T) \simeq \mathbb{P}^2$ . Applicando ancora la parte 2) del teorema A.2.1 otteniamo  $\dim \mathcal{Q} = 5$ . Quindi abbiamo che  $\pi_2$  è un'applicazione tra due varietà di dimensione 5. Se anche  $\pi_2$  fosse suriettiva avremo che ogni conica è circoscritta a qualche triangolo autopolare rispetto a  $B$ ; ma questo effettivamente è falso poiché proprio il teorema 1.4.1 ci dice che solo quando la conica è apolare a  $B$ , e quindi quando  $\text{tr}(B^{-1}A) = 0$  per la proposizione 1.3.1, allora è circoscritta ad un triangolo autopolare rispetto a  $B$ . Questo significa che ci sono alcuni triangoli autopolari che danno luogo alla stessa conica circoscritta. In particolare, poiché

$Im(\pi_2) = \{\mathcal{C} \in \mathbb{P}^5 \mid \mathcal{C} \text{ è apolare a } B\}$ , abbiamo che  $\dim Im(\pi_2) = 4$ ; quindi sempre dal teorema A.2.1 ricaviamo che  $\pi_2^{-1}(\mathcal{C}) = \{T \mid T \text{ è inscritto in } \mathcal{C}\}$  ha dimensione 1. Siamo arrivati dunque alla seguente, ben nota ma non aspettata, conclusione:

*Data una conica  $B$ , se esiste un triangolo autopolare rispetto a  $B$  tale che  $A$  è una conica circoscritta a questo triangolo, allora esistono infiniti triangoli autopolari rispetto a  $B$  che hanno  $A$  come conica circoscritta.*

# Capitolo 2

## Teorema di Poncelet

### 2.1 La Relazione di Poncelet

**Definizione 2.1.1.** Sia  $\mathcal{C}$  una conica, e sia  $T = \{l_1, l_2, l_3\}$  un triangolo circoscritto a  $\mathcal{C}$ . Una conica  $\mathcal{S}$  che ha  $T$  come triangolo inscritto è chiamata *conica Poncelet related a  $\mathcal{C}$* .

Sia  $\mathcal{C}$  una conica fissata. Consideriamo  $\mathbb{P}^5$ , come lo spazio che parametrizza le coniche; definiamo poi  $\mathcal{C}^0 \subseteq \mathcal{C} \times \mathcal{C} \times \mathcal{C}$  come

$$\mathcal{C}^0 = \{(p, q, r) \mid p \neq q, p \neq r, q \neq r\}.$$

Indicando con  $S^3$  il gruppo delle permutazioni su tre elementi, definiamo

$$\mathcal{T} = \mathcal{C}^0 / S^3;$$

identificando i punti di  $\mathcal{C}$  con lo spazio tangente a  $\mathcal{C}$  in quel punto, abbiamo che  $\mathcal{T}$  rappresenta l'insieme di tutti i triangoli circoscritti a  $\mathcal{C}$  ed è quindi una varietà di dimensione 3. Sia ora  $\mathcal{P} \subseteq \mathcal{T} \times \mathbb{P}^5$  una *varietà di incidenza* definita da

$$\mathcal{P} = \{(T, \mathcal{S}) \mid \mathcal{S} \text{ è circoscritta a } T\}.$$

Siano  $\alpha$  e  $\beta$  le proiezioni di  $\mathcal{P}$ , rispettivamente, su  $\mathcal{T}$  e su  $\mathbb{P}^5$ , e cerchiamo di calcolare la dimensione di  $\mathcal{P}$  utilizzando il teorema A.2.1. Consideriamo l'applicazione  $\alpha$ ; ovviamente  $\alpha$  è una mappa suriettiva e si può osservare facilmente che verifica anche tutte le altre ipotesi del teorema A.2.1, essendo semplicemente una proiezione. La fibra di  $\alpha$  è l'insieme

$$\alpha^{-1}(T) = \{\mathcal{S} \mid \mathcal{S} \text{ è circoscritta a } T\},$$

quindi, poichè  $\mathcal{S} \simeq \mathbb{P}^5$  e  $\mathcal{T} \simeq \mathbb{P}^3$  si ha che  $\alpha^{-1}(T) \simeq \mathbb{P}^2$ . Applicando quindi la parte 2 del teorema A.2.1 abbiamo che  $\dim \mathcal{P} = 5$ . Potremo aspettarci quindi che anche  $\beta$  sia suriettiva ( $\beta : \mathcal{P} \rightarrow \mathbb{P}^5$ , dove  $\dim \mathcal{P} = 5$ ), così che ogni conica è Poncelet related a  $\mathcal{C}$  rispetto a qualche triangolo, e cioè che, data la conica  $\mathcal{C}$ , per ogni conica  $\mathcal{S}$  posso sempre trovare un triangolo circoscritto a  $\mathcal{C}$  e inscritto in  $\mathcal{S}$ ; ma sorprendentemente questo non è vero! Esiste infatti un teorema che dimostra che se esiste un triangolo inscritto a  $\mathcal{S}$  e circoscritto a  $\mathcal{C}$ , allora esistono infiniti triangoli circoscritti a  $\mathcal{C}$  e che hanno  $\mathcal{S}$  come conica circoscritta. In pratica si dimostra proprio che  $\beta^{-1}(\mathcal{S}) = \{T \mid T \text{ è inscritto in } \mathcal{S}\}$  ha dimensione 1, e quindi, sempre per il teorema sulla dimensione delle fibre, che  $\dim \text{Im}(\beta) = 4$ , cioè  $\beta$  non è suriettiva.

La prima versione di questo teorema è la seguente:

**Teorema 2.1.1. (J.V.Poncelet)** *Siano  $\mathcal{C}$  e  $\mathcal{S}$  due coniche non singolari che si intersecano trasversalmente. Se esiste un triangolo inscritto a  $\mathcal{S}$  e circoscritto a  $\mathcal{C}$ , cioè  $\mathcal{S}$  è Poncelet related a  $\mathcal{C}$ , allora per ogni  $x \in X$  e per ogni  $y \in \mathcal{S} \cap T_x \mathcal{C}$  esiste un triangolo, con un vertice in  $y$  e un lato tangente a  $\mathcal{C}$  in  $x$ , che è circoscritto a  $\mathcal{C}$  e inscritto in  $\mathcal{S}$ .*

In pratica proveremo una versione più generale del teorema 2.1.1: invece di triangoli circoscritti considereremo n-poligoni circoscritti.

Un n-poligono  $P$  in  $\mathbb{P}^2$  è un insieme ordinato di  $n \geq 3$  punti  $(p_1, \dots, p_n)$  di  $\mathbb{P}^2$  tali che non ci siano tre punti  $p_i, p_{i+1}, p_{i+2}$  appartenenti alla stessa retta. I punti  $p_i$  sono i vertici di  $P$ , le rette  $\overline{p_i, p_{i+1}}$  sono i lati di  $P$  ( $p_{n+1} = p_1$ ). Diciamo inoltre che due poligoni sono uguali se i loro insiemi di lati sono uguali. Il numero di n-poligoni con lo stesso insieme di vertici è  $n!/2n$ . Diciamo che  $P$  è circoscritto ad una conica non singolare  $\mathcal{C}$  se ogni lato è tangente a  $\mathcal{C}$ . Dato un insieme ordinato  $(q_1, \dots, q_n)$  di  $n$  punti su  $\mathcal{C}$ , siano  $l_i$  le rette tangenti a  $\mathcal{C}$  in  $q_i$ . Allora queste rette sono i lati di un n-poligono  $P$  con vertici  $p_i = l_i \cap l_{i+1}$ ,  $i = 1, \dots, n$  ( $l_{n+1} = l_1$ ). Questo poligono è circoscritto a  $\mathcal{C}$ . Questo da una corrispondenza 1-1 tra gli n-poligoni circoscritti a  $\mathcal{C}$  e gli insiemi ordinati di  $n$  punti su  $\mathcal{C}$ .

**Definizione 2.1.2.** *Sia  $P = (p_1, \dots, p_n)$  un n-poligono circoscritto ad una conica non singolare  $\mathcal{C}$ . Una conica  $\mathcal{S}$  è Poncelet n-related a  $\mathcal{C}$  rispetto a  $P$  se tutti i punti  $p_i$  stanno su  $\mathcal{S}$ .*

Iniziamo con due coniche qualsiasi  $\mathcal{C}$  e  $\mathcal{S}$ . Scegliamo un punto  $p_1$  su  $\mathcal{S}$  e una tangente  $l_1$  a  $\mathcal{C}$  che passa per  $p_1$ . Questa interseca  $\mathcal{S}$  in un altro punto



$p_2$ . Ripetiamo questa costruzione. Se il processo si ferma dopo  $n$  passi, cioè non abbiamo più nuovi punti  $p_i$ , otteniamo un  $n$ -poligono inscritto in  $\mathcal{S}$  e circoscritto a  $\mathcal{C}$ . In questo caso  $\mathcal{S}$  è Poncelet  $n$ -related a  $\mathcal{C}$ . La versione generale del Teorema di Poncelet, enunciato a pagina seguente come Teorema di Darboux, dice che se il processo si ferma, allora possiamo costruire un'infinità di  $n$ -poligoni con questa proprietà partendo da un punto arbitrario di  $\mathcal{S}$ .

## 2.2 Formula di Riemann-Hurwitz e automorfismi di una curva ellittica

Prima di dare la dimostrazione del Teorema di Darboux richiamiamo alcune nozioni importanti sulle superfici di Riemann (cfr. [Mira]).

Sia  $F : X \rightarrow Y$  una funzione olomorfa non costante tra due superfici di Riemann.

**Definizione 2.2.1.** *La molteplicità di  $F$  in  $p \in X$ , indicata con  $\text{mult}_p(F)$ , è l'unico intero  $m$  che soddisfa questa proprietà: per ogni carta  $\phi_2 : U_2 \rightarrow V_2$  su  $Y$  centrata in  $F(p)$ , esiste una carta  $\phi_1 : U_1 \rightarrow V_1$  su  $X$  centrata in  $p$  tale che  $\phi_2(F(\phi_1^{-1}(z))) = z^m$ .*

**Definizione 2.2.2.** *Il grado di  $F$ , indicato con  $\text{deg}(F)$ , è l'intero  $d_y(F)$  definito da  $d_y(F) = \sum_{p \in F^{-1}(y)} \text{mult}_p(F)$ .*

Una proposizione ci assicura che  $d_y(F)$  è costante indipendentemente da  $y$ .

**Teorema 2.2.1. (Formula di Riemann-Hurwitz)** *Sia  $F : X \rightarrow Y$  una funzione olomorfa non costante tra due superfici di Riemann compatte. Allora*

$$2g(X) - 2 = \text{deg}(F)(2g(Y) - 2) + \sum_{p \in X} [\text{mult}_p(F) - 1], \quad (2.1)$$

dove con  $g$  si indica il genere delle superfici di Riemann compatte.

Ricordiamo che esiste una proposizione che lega il genere di una superficie di Riemann compatta con la caratteristica di Eulero  $\chi$  della superficie; in particolare vale che  $\chi = 2 - 2g$ . Infine ricordiamo la seguente proposizione, che caratterizza gli automorfismi senza punti fissi di un toro complesso:

**Proposizione 2.2.1.** *Sia  $\Lambda$  un reticolo in  $\mathbb{C}$  che definisce un toro complesso  $X = \mathbb{C}/\Lambda$ . Sia  $F$  un automorfismo non banale di  $X$  senza punti fissi. Allora  $\forall z \in X$   $F(z) = z + a$ , con  $a \in X$  fissato.*

## 2.3 Versione generale del Teorema di Poncelet

**Teorema 2.3.1. (G.Darboux)** *Siano  $\mathcal{C}$  e  $\mathcal{S}$  due coniche non singolari che si intersecano trasversalmente. Se  $\mathcal{C}$  e  $\mathcal{S}$  sono Poncelet  $n$ -related allora, partendo da un qualsiasi punto  $x \in \mathcal{C}$  e da un punto  $y \in \mathcal{S} \cap T_x\mathcal{C}$ , esiste un  $n$ -poligono, con un vertice in  $y$  e un lato tangente a  $\mathcal{C}$  in  $x$ , che è circoscritto a  $\mathcal{C}$  e inscritto in  $\mathcal{S}$ .*

*Dimostrazione.* Consideriamo la seguente corrispondenza su  $\mathcal{C} \times \mathcal{S}$ :

$$R = \{(x, y) \in \mathcal{C} \times \mathcal{S} : \overline{xy} \text{ è tangente a } \mathcal{C} \text{ in } x\}.$$

Poichè, per ogni  $x \in \mathcal{C}$  la tangente a  $\mathcal{C}$  in  $x$  interseca  $\mathcal{S}$  in due punti, e, per ogni  $y \in \mathcal{S}$  ci sono due tangenti a  $\mathcal{C}$  passanti per  $y$ , abbiamo che  $R$  è di bi-grado  $(2, 2)$ . Questo significa che se identifichiamo  $\mathcal{C}$  e  $\mathcal{S}$  con  $\mathbb{P}^1$ , allora  $R$  è una curva sulla quadrica  $\mathbb{P}^1 \times \mathbb{P}^1$ . Ricordiamo che su una quadrica ci sono due famiglie di rette distinte e che una curva su una quadrica ha bi-grado  $(a, b)$  se  $a$  è il numero di intersezioni della curva con una famiglia di rette e  $b$  con l'altra.

Vale inoltre il seguente Lemma:

**Lemma 2.3.1.** *La curva  $R$  è non singolare se e solo se le coniche  $\mathcal{C}$  e  $\mathcal{S}$  si intersecano in quattro punti distinti. In questo caso,  $R$  è isomorfo al rivestimento a due fogli di  $\mathcal{S}$  che si ramifica sui quattro punti di intersezione.*

*Dimostrazione.* Sia  $\pi_{\mathcal{S}}$  la proiezione di  $R$  su  $\mathcal{S}$ . Allora  $\pi_{\mathcal{S}}$  è un'applicazione  $2 : 1$ . Un punto di branch  $y \in \mathcal{S}$  per  $\pi_{\mathcal{S}}$  è un punto tale che c'è una sola tangente a  $\mathcal{C}$  passante per  $y$ . Ovviamente questo è possibile solo se  $y \in \mathcal{C}$ . Vale inoltre la seguente proposizione (crf. [Mira]):  $R$  è non singolare se e solo se il rivestimento a due fogli  $\pi_{\mathcal{S}} : R \rightarrow \mathcal{S} \simeq \mathbb{P}^1$  ha quattro punti di branch. Quindi poichè i punti di branch per  $\pi_{\mathcal{S}}$  sono i punti di intersezione si ha che  $R$  è non singolare se e solo se  $\mathcal{C}$  e  $\mathcal{S}$  si intersecano trasversalmente. □

Notiamo che anche la proiezione  $\pi_{\mathcal{C}}$  deve avere quattro punti di branch, se  $R$  è non singolare. Un punto  $x \in \mathcal{C}$  è un punto di branch se e solo se la tangente di  $\mathcal{C}$  in  $x$  è anche tangente a  $\mathcal{S}$ . Otteniamo così che due coniche si intersecano trasversalmente se e solo se ci sono 4 tangenti comuni diverse.

Abbiamo inoltre che  $R$  è una *curva ellittica*. Per dimostrarlo basta applicare la *Formula di Riemann-Hurwitz* ad una delle proiezioni e verificare che il *genere di  $R$*  è 1. Osserviamo innanzitutto che la sommatoria che compare nella formula (2.1) è una somma finita in quanto può essere ristretta esclusivamente ai punti di ramificazione: infatti se  $p$  non è un punto di ramificazione allora  $mult_p = 1$ . Nel nostro caso possiamo considerare  $F = \pi_{\mathcal{C}}$ ; quindi abbiamo che  $\deg(\pi_{\mathcal{C}}) = 2$ ,  $g(\mathcal{C}) = 0$  e  $mult_p(\pi_{\mathcal{C}}) = 2$  se  $p$  è un punto di ramificazione per  $\pi_{\mathcal{C}}$ ; quindi sostituendo nella formula otteniamo proprio  $g(R) = 1$ .

Prendiamo un punto  $(x_0, y_0) \in R$  e sia  $(x_1, y_1) \in R$  definito come segue:  $y_1$  è il secondo punto su  $\mathcal{S}$  che appartiene alla tangente in  $x_0$ ,  $x_1 \neq x_0$  è il punto dove la tangente di  $\mathcal{C}$  in  $x_1$  contiene  $y_1$ . Questo definisce un automorfismo di  $R$

$$f : R \rightarrow R$$

$$(x_0, y_0) \mapsto (x_1, y_1).$$

Poichè per ipotesi le coniche  $\mathcal{C}$  e  $\mathcal{S}$  sono Poncelet  $n$ -related, esisterà un  $n$ -poligono circoscritto a  $\mathcal{C}$  e inscritto in  $\mathcal{S}$ , e quindi ci sarà un punto  $(\bar{x}, \bar{y}) \in R$  tale che

$$f^n(\bar{x}, \bar{y}) = (\bar{x}, \bar{y}).$$

Per completare la dimostrazione basta quindi provare che  $f^n = 1_R$ . Poichè  $R$  è una curva ellittica abbiamo che  $R \simeq \mathbb{C}/\Lambda$ , ossia  $R$  è isomorfa ad un toro complesso. Ovviamente la nostra  $f$  non ha punti fissi, quindi per la proposizione 2.2.1 esiste  $a \in R$  tale che  $f(z) = z + a$ ; da cui  $f^n(z) = z + na$ . Poichè  $\mathcal{C}$  e  $\mathcal{S}$  sono Poncelet  $n$ -related si ha che  $na = 0$  e quindi il teorema è dimostrato perché tutti i punti sono fissi per  $f^n$ .

□

# Capitolo 3

## Equazioni per le Coniche di Poncelet

### 3.1 Il Teorema di Poncelet in $\mathbb{P}^3$

Siano  $\mathcal{Q}_1$  e  $\mathcal{Q}_2$  due quadriche di rango maggiore o uguale a 3 tali che la loro curva di intersezione  $E = \mathcal{Q}_1 \cap \mathcal{Q}_2$  è una curva ellittica liscia. Fissiamo due famiglie di rette,  $R_1$  su  $\mathcal{Q}_1$  e  $R_2$  su  $\mathcal{Q}_2$ .

**Teorema 3.1.1.** *Supponiamo che esista una sequenza chiusa di rette distinte  $L_1, \dots, L_{2n}, L_{2n+1} = L_1$  tale che la retta  $L_i$  appartiene a  $R_1$  (rispettivamente  $R_2$ ) se  $i$  è dispari (rispettivamente pari), e tale che rette consecutive  $L_i, L_{i+1}$  si intersecano l'una con l'altra. Allora ci sono sequenze di questo tipo attraverso ogni punto di  $\mathcal{Q}_1 \cap \mathcal{Q}_2$ .*

*Dimostrazione.* Le famiglie di rette  $R_1, R_2$  definiscono due involuzioni  $i_1, i_2$  su  $E$  che scambiano i due punti di intersezione di  $E$  con una retta di  $R_1$  (rispettivamente di  $R_2$ ). Sia  $t : E \rightarrow E$  la composizione  $i_2 i_1$  e definiamo  $e = L_{2n} \cap L_1$ . Allora  $L_{2k-1}$  è l'unica retta in  $R_1$  che passa per  $t^{k-1}e$  e  $L_{2k}$  è l'unica retta di  $R_2$  che passa per  $i_1 t^{k-1}e$  per  $k \geq 1$ . Poiché la sequenza  $L_1, \dots, L_{2n}, L_{2n+1}$  è chiusa, cioè  $L_{2n+1} = L_1$ , abbiamo che  $t^n(e) = e$ . Le involuzioni  $i_1, i_2$  hanno punti fissi, quindi la loro composizione  $t$  è una traslazione su  $E$ . Ma allora, poiché per ipotesi le rette sono distinte e vale  $t^n(e) = e$ , possiamo concludere che  $t$  è un automorfismo di  $E$  di ordine  $n$ . □

Il teorema precedente vale anche per due diverse famiglie di rette  $R_1$  e

$R_2$  sulla stessa quadrica liscia se  $E$  è una curva ellittica di bi-grado  $(2, 2)$  su questa quadrica. La dimostrazione è letteralmente la stessa.

**Definizione 3.1.1.** *Diremo che le quadriche  $\mathcal{Q}_1$  e  $\mathcal{Q}_2$  sono in posizione di n-Poncelet (oppure che la coppia  $(R_1, R_2)$  soddisfa la condizione di n-Poncelet) se l'automorfismo  $t : E \rightarrow E$  definito nel teorema 3.1.1 è di ordine  $n$ .*

A priori questa è una proprietà della coppia ordinata  $(R_1, R_2)$ , ma si può osservare facilmente che l'automorfismo associato alla coppia  $(R_2, R_1)$  non è altro che  $t^{-1}$ . Vale quindi la seguente proposizione:

**Proposizione 3.1.1.** *La coppia di famiglie di rette  $(R_1, R_2)$  soddisfa la condizione di n-Poncelet se e solo se la soddisfa la coppia  $(R_2, R_1)$ .*

Vediamo a questo punto come il teorema 3.1.1 implica l'usuale Teorema di Poncelet in  $\mathbb{P}^2$ .

In pratica vedremo che se una delle quadriche,  $\mathcal{Q}_1$ , è liscia e l'altra,  $\mathcal{Q}_2$ , è un cono con vertice in  $P_0 \notin E = \mathcal{Q}_1 \cap \mathcal{Q}_2$  e  $E$  è una curva ellittica liscia, allora il Teorema di Poncelet tridimensionale è equivalente al Teorema di Poncelet per due coniche nel piano. Denotiamo con  $\pi_i : \mathcal{Q}_i \rightarrow \mathbb{P}^2$  le proiezioni dal vertice  $P_0$ . Il morfismo  $\pi_1$  è di grado 2 e si ramifica su una conica liscia  $\mathcal{C} \subset \mathbb{P}^2$ . L'immagine di  $\pi_2$  è un'altra conica liscia  $\mathcal{D} \subset \mathbb{P}^2$ , che sta in posizione generica rispetto a  $\mathcal{C}$ .

Premettiamo questi due lemma:

**Lemma 3.1.1.** *Sia  $\Delta = \pi_1^{-1}\mathcal{C} \subset \mathbb{P}^1 \times \mathbb{P}^1$  la curva di ramificazione. Allora  $\Delta$  è una curva di bi-grado  $(1, 1)$  e possiamo identificare tramite un isomorfismo le due copie di  $\mathbb{P}^1$  in modo che  $\Delta$  sia la diagonale.*

*Dimostrazione.* Supponiamo per assurdo che una delle due famiglie di rette su  $\mathcal{Q}_1$  incontri  $\Delta$  in due punti  $Q$  e  $R$ . Allora gli spazi tangenti a  $\mathcal{Q}_1$  in  $Q$  e  $R$  devono contenere entrambi la retta  $QR$  e il punto  $P_0$ , quindi coincidono. Segue perciò che  $Q = R$  e cioè che  $\Delta$  è una curva di bi-grado  $(1, 1)$ . Per verificare che  $\Delta$  è proprio la diagonale scegliamo un isomorfismo  $\mathcal{Q}_1 \simeq \mathbb{P}^1 \times \mathbb{P}^1$  in modo che la famiglia di rette  $R_1$  su  $\mathcal{Q}_1$  sia parametrizzata dal primo fattore, cioè  $R_1 \simeq a \times \mathbb{P}^1$  al variare di  $a$ , e scegliamo l'altra famiglia su  $\mathcal{Q}_1$  parametrizzata da  $\mathbb{P}^1 \times a$ ; quindi, poiché  $\Delta$  ha bi-grado  $(1, 1)$  ogni suo punto avrà la forma  $(a, a)$ . □

**Lemma 3.1.2.** *Sia  $\mathcal{Q}_1$  una quadrica liscia,  $P_0$  un punto non appartenente alla quadrica e  $\pi_1$  la proiezione di  $\mathcal{Q}_1$  da  $P_0$  su  $\mathbb{P}^2$ . Allora sulla stessa fibra ci sono due punti della forma  $(a, b)$  e  $(b, a)$ .*

*Dimostrazione.* Un punto  $(a, b) \in \mathcal{Q}_1$  possiamo vederlo come come l'intersezione di una retta di una famiglia con una dell'altra,  $(a, b) = \{a \times \mathbb{P}^1\} \cap \{\mathbb{P}^1 \times b\}$ ; inoltre  $\{a \times \mathbb{P}^1\} \cap \Delta = (a, a)$  e analogamente  $\Delta \cap \{\mathbb{P}^1 \times b\} = (b, b)$  (per il lemma precedente). Sia  $(x, y)$  l'altro punto sulla stessa fibra di  $(a, b)$ ; dobbiamo provare che  $x = b$  e  $y = a$ . Il piano tangente per  $(a, a)$  contiene  $P_0$  e la retta  $a \times \mathbb{P}^1$ , e il piano tangente per  $(b, b)$  contiene  $P_0$  e la retta  $\mathbb{P}^1 \times b$ . Questi due piani si intersecano nella retta per  $(a, b)$  e  $P_0$ , che incontra la quadrica in  $(x, y)$ , quindi  $(x, y)$  può essere visto come intersezione della famiglia di rette  $b \times \mathbb{P}^1$  e di quella  $\mathbb{P}^1 \times a$ ; da qui la tesi. □

**Proposizione 3.1.2.** *Le quadriche  $\mathcal{Q}_1$  e  $\mathcal{Q}_2$  sono in posizione di  $n$ -Poncelet se e solo se  $\mathcal{D}$  è Poncelet  $n$ -related a  $\mathcal{C}$ .*

*Dimostrazione.* Consideriamo l'applicazione

$$\begin{aligned} \mathcal{Q}_1 &\rightarrow \mathbb{P}^2 \times \mathcal{C}^* \\ (a, b) &\mapsto (u, T) \end{aligned}$$

dove  $\mathcal{C}^*$  è la conica duale di  $\mathcal{C}$ ,  $u := \pi_1(a, b)$  e  $T := \pi_1(a \times \mathbb{P}^1)$ . Quindi  $T$  è la tangente da  $u$  a  $\mathcal{C}$  che incontra  $\mathcal{C}$  nel punto  $\pi_1(a, a)$  (per il Lemma 3.1.1). La proiezione  $\pi_1$  restringe a un'applicazione  $E \rightarrow \mathcal{D}$  di grado 2. La retroimmagine di un punto  $u \in \mathcal{D}$  sono due punti  $(a, b), (b, a) \in E$  (per il Lemma 3.1.2). Determiniamo ora la funzione indotta da  $t$  ( $t$  è l'automorfismo del teorema 3.1.1) sulla coppia  $(u, T)$ . Iniziamo con un punto liscio  $P = (a, b) \in E$ . La retta  $L_1 = a \times \mathbb{P}^1 \in R_1$  passante per  $P$  incontra  $E$  in un altro punto  $P' = (a, b')$ . Questo significa che passiamo dalla coppia  $(u, T)$  alla coppia  $(u', T)$ , dove  $u' := \pi_1(a, b')$  è il secondo punto di intersezione di  $T$  e  $\mathcal{D}$ . Il punto  $P'' := t(P)$  è il secondo punto di intersezione della retta  $L_2 \in R_2$  per  $P'$  con  $E$ . Quindi abbiamo  $P'' = (b', a)$ , perchè i punti sulla stessa generatrice di  $\mathcal{Q}_2$  stanno sulla stessa fibra della proiezione  $\pi_2$ . Passare dal punto  $(a, b')$  al punto  $(b', a)$  significa passare dalla coppia  $(u', T)$  alla coppia  $(u', T')$ , dove  $T'$  è la seconda tangente a  $\mathcal{C}$  passante da  $u'$ . Quindi abbiamo che l'applicazione

$$t : (u, T) \mapsto (u', T')$$

descrive proprio il processo di Poncelet per la coppia di coniche  $\mathcal{C}, \mathcal{D}$ . □

## 3.2 Quadriche in relazione di Poncelet in un fascio

Siano  $\mathcal{Q}_1$  e  $\mathcal{Q}_2$  due quadriche di rango maggiore o uguale a 3 tali che il fascio unidimensionale da loro generato  $\lambda_1 \mathcal{Q}_1 + \lambda_2 \mathcal{Q}_2$  è un fascio generico. Questo significa che  $E = \mathcal{Q}_1 \cap \mathcal{Q}_2$  è una curva liscia, o equivalentemente che il discriminante  $d(\lambda_1, \lambda_2) = \det(\lambda_1 \mathcal{Q}_1 + \lambda_2 \mathcal{Q}_2)$  del fascio non ha radici multiple. Le quattro radici di  $d(\lambda_1, \lambda_2)$  corrispondono ai coni nel fascio, cioè a quelle quadriche con una sola famiglia di rette. Sia  $M \rightarrow \mathbb{P}^1$  il rivestimento a due fogli di  $\mathbb{P}^1$  che ha come punti di branch le radici di  $d(\lambda_1, \lambda_2)$ . I punti della curva ellittica  $M$  sono identificati con le famiglie di rette sulle quadriche del fascio. Ogni famiglia di rette  $R$  in  $M$  definisce un'involuzione  $I_R : E \rightarrow E$  con punti fissi. Scegliendo un origine in  $E$  possiamo scrivere  $I_R$  come  $x \mapsto -x + a$  con un unico punto  $a \in E$ . Otteniamo quindi un'applicazione

$$\Phi : M \rightarrow E$$

$$R \mapsto a.$$

**Proposizione 3.2.1.**  $\Phi$  è un isomorfismo di gruppi (se l'origine di  $M$  è scelta appropriatamente).

*Dimostrazione.* Basta provare che  $\Phi$  è iniettiva. Siano  $R_1, R_2 \in M$  tali che  $\Phi(R_1) = \Phi(R_2)$ , cioè  $I_{R_1} \equiv I_{R_2}$ . Sia  $P \in E$  un punto non fisso nè per  $I_{R_1}$  nè per  $I_{R_2}$ . Poiché  $I_{R_1} \equiv I_{R_2}$  le rette

$$\overline{P, I_{R_1}(P)} \in R_1$$

$$\overline{P, I_{R_2}(P)} \in R_2$$

sono uguali. Facendo variare il punto  $P$  in  $E$  possiamo concludere  $R_1 = R_2$ . □

**Corollario 3.2.1.** *a) Due famiglie di rette  $R_1, R_2$  nel fascio soddisfano la condizione di  $n$ -Poncelet se e solo se il punto  $R_2 - R_1 \in M$  è un punto di  $n$ -torsione primitivo.*

b) Fissata una famiglia di rette  $R_1 \in M$  ci sono  $T(n)$  famiglie di rette  $R_2 \in M$  tale che  $R_1, R_2$  soddisfano la condizione di  $n$ -Poncelet, dove  $T(n)$  denota il numero di punti di  $n$ -torsione primitivi di una curva ellittica.

*Dimostrazione.* Per la parte a) basta osservare che se  $x \in E$  allora

$$t(x) = i_2 i_1(x) = i_2(-x + a) = -(-x + a) + b = x - a + b,$$

dove  $t$  è l'automorfismo del teorema 3.1.1 e  $a, b \in E$ .

La parte b) segue direttamente dalla parte a).

□

Questo corollario è indipendente dalla scelta dell'origine in  $M$  se uno interpreta  $R_2 - R_1$  come la traslazione su  $M$  che porta  $R_1$  in  $R_2$ . In generale il fatto di essere in posizione di Poncelet dipende dalla scelta delle famiglie di rette  $R_1, R_2$  su  $\mathcal{Q}_1, \mathcal{Q}_2$ . Si può comunque verificare facilmente che se vale per  $R_1$  e  $R_2$  allora vale anche per le famiglie di rette complementari,  $R'_1$  su  $\mathcal{Q}_1$  e  $R'_2$  su  $\mathcal{Q}_2$ : infatti  $R_2 - R_1 = -(R'_2 - R'_1)$ , indipendentemente dalla scelta dell'origine di  $M$ .

### 3.3 Formula di Gerbaldi per il numero di coniche Poncelet $n$ -related

Consideriamo l'invariante di due coniche  $\mathcal{C}$  e  $\mathcal{D} \in \mathbb{P}^2$  che si annulla se  $\mathcal{D}$  è Poncelet  $n$ -related a  $\mathcal{C}$ .

**Teorema 3.3.1. (Formula di Gerbaldi)**

*Questo invariante è di grado  $\frac{1}{2}T(n)$  in  $\mathcal{C}$  e di grado  $\frac{1}{4}T(n)$  in  $\mathcal{D}$ .*

In pratica non proveremo precisamente questo teorema, ma ci concentreremo sui due teoremi successivi, entrambi equivalenti al teorema 3.3.1.

**Teorema 3.3.2.** *Sia  $\lambda\mathcal{C} + \mu\mathcal{D}$ ,  $(\lambda : \mu) \in \mathbb{P}^1$  un fascio generico di coniche in  $\mathbb{P}^2$ . Allora il numero di coniche del fascio a cui  $\mathcal{D}$  è Poncelet  $n$ -related è  $\frac{1}{2}T(n)$ .*

*Dimostrazione.* 1) C'è una quadrica liscia  $\mathcal{Q}_1 \in \mathbb{P}^3$  e un cono  $\mathcal{Q}_2 \in \mathbb{P}^3$  tali che



- i. la proiezione  $\mathcal{Q}_1 \rightarrow \mathbb{P}^2$  dal vertice  $P_0$  di  $\mathcal{Q}_2$  ha come punti di branch i punti di  $\mathcal{C}$ ,
- ii. l'immagine di  $\mathcal{Q}_2$  tramite la proiezione da  $P_0$  è  $\mathcal{D}$ , e
- iii. il fascio generato da  $\mathcal{Q}_1$  e  $\mathcal{Q}_2$  è generico.

Infatti, in opportune coordinate omogenee  $x, y, t$  su  $\mathbb{P}^2$  e  $x, y, z, t$  su  $\mathbb{P}^3$  le coniche  $\mathcal{C}$  e  $\mathcal{D}$  sono date dalle equazioni

$$\mathcal{C} : x^2 + y^2 + t^2 = 0, \quad \mathcal{D} : \alpha x^2 + \beta y^2 + \gamma t^2 = 0$$

con  $\alpha, \beta, \gamma \in \mathbb{C}$ . Scegliamo  $\mathcal{Q}_2$  il cono

$$\mathcal{Q}_2 : \alpha x^2 + \beta y^2 + \gamma t^2 = 0$$

con vertice  $P_0 = (0 : 0 : 1 : 0)$  e  $\mathcal{Q}_1$  la quadrica liscia data da

$$\mathcal{Q}_1 : x^2 + y^2 + z^2 + t^2 = 0.$$

Le proprietà i. e ii. sono ovviamente soddisfatte. Per verificare iii. osserviamo che il discriminante del fascio  $\lambda_1 \mathcal{Q}_1 + \lambda_2 \mathcal{Q}_2$ ,

$$d(\lambda_1, \lambda_2) = \det(\lambda_1 \mathcal{Q}_1 + \lambda_2 \mathcal{Q}_2) = \lambda_1(\lambda_1 + \lambda_2 \alpha)(\lambda_1 + \lambda_2 \beta)(\lambda_1 + \lambda_2 \gamma),$$

non ha radici multiple poiché il fascio  $\lambda \mathcal{C} + \mu \mathcal{D}$  è generico per ipotesi.

- 2) Siano  $\mathcal{Q}_1$  e  $\mathcal{Q}_2$  le quadriche con le proprietà i. ii. iii. della parte 1). I punti di branch di una quadrica liscia  $\mathcal{Q}_{\lambda_1, \lambda_2} = \lambda_1 \mathcal{Q}_1 + \lambda_2 \mathcal{Q}_2$  rispetto alla proiezione da  $P_0$  formano una conica nel fascio  $\lambda \mathcal{C} + \mu \mathcal{D}$ . Basta mostrare che i luoghi dei punti di branch delle proiezioni da  $P_0$ ,  $\mathcal{Q}_{\lambda_1, \lambda_2} \rightarrow \mathbb{P}^2$ , variano in un fascio. Ora, un punto  $P \in \mathcal{Q}_{\lambda_1, \lambda_2}$  è un punto di branch se la retta  $\overline{P P_0}$  tocca  $\mathcal{Q}_{\lambda_1, \lambda_2}$  in  $P$ , cioè se  $P_0^t \mathcal{Q}_{\lambda_1, \lambda_2} P = 0$ ; il piano  $P_0^t \mathcal{Q}_{\lambda_1, \lambda_2} P = 0$  si dice piano polare di  $P_0$  rispetto a  $\mathcal{Q}_{\lambda_1, \lambda_2}$ . Quindi il luogo dei punti di branch è l'intersezione di  $\mathcal{Q}_{\lambda_1, \lambda_2}$  con questo piano. Ma

$$P_0^t \mathcal{Q}_{\lambda_1, \lambda_2} = P_0^t (\lambda_1 \mathcal{Q}_1 + \lambda_2 \mathcal{Q}_2) = \lambda_1 P_0^t \mathcal{Q}_1,$$

perchè  $P_0^t \mathcal{Q}_2 = 0$  poiché  $P_0 \in \mathcal{Q}_2$ , quindi il piano polare è lo stesso per tutte le quadriche nel fascio. Allora i luoghi dei punti di branch variano in un fascio su questo piano polare.

3) Se una quadrica  $\mathcal{Q}_{\lambda_1, \lambda_2}$  del fascio è liscia, allora per la proposizione 3.1.2 le quadriche  $\mathcal{Q}_{\lambda_1, \lambda_2}$  e  $\mathcal{Q}_2$  sono in posizione di n-Poncelet se e solo se  $\mathcal{D}$  è Poncelet n-related al luogo dei punti di branch di  $\mathcal{Q}_{\lambda_1, \lambda_2}$ , che è una conica nel fascio  $\lambda\mathcal{C} + \mu\mathcal{D}$  (per la parte 2). Se  $\mathcal{Q}_{\lambda_1, \lambda_2}$  è un cono, allora sicuramente  $\mathcal{Q}_{\lambda_1, \lambda_2}$  e  $\mathcal{Q}_2$  non sono in posizione di n-Poncelet, perchè la costruzione della sequenza di rette del teorema 3.1.1 darebbe tutte le rette sullo stesso piano. Concludiamo che il numero di coniche nel fascio  $\lambda\mathcal{C} + \mu\mathcal{D}$ , a cui  $\mathcal{D}$  è Poncelet n-related, è uguale al numero di quadriche  $\mathcal{Q}_{\lambda_1, \lambda_2}$  che sono in posizione di n-Poncelet con  $\mathcal{Q}_2$ . Ma questo numero è proprio la metà del numero di famiglie di rette  $R \in M$  tali che  $R, R_2$  soddisfano la condizione di n-Poncelet. La tesi segue direttamente applicando la parte b) del corollario 3.2.1. □

**Proposizione 3.3.1.** *Siano  $\mathcal{C}, \mathcal{D}$  coniche lisce. Allora  $\mathcal{D}$  è Poncelet n-related a  $\mathcal{C}$  se e solo se  $\mathcal{C}^*$  è Poncelet n-related a  $\mathcal{D}^*$ .*

*Dimostrazione.* La dimostrazione è immediata dalla definizione di conica duale data nel paragrafo 3 del capitolo 1. □

**Osservazione 3.3.1.** *Sia  $A$  una matrice  $3 \times 3$  (simmetrica). La conica duale di  $A$  è definita se e solo se  $rk(A) = 2$  o  $rk(A) = 3$ .*

Infatti, in generale, la matrice associata alla conica duale è  $adj(A)$ , dove  $adj(A) \cdot A = \det(A)I$ . Se  $rk(A) = 3$  o se  $rk(A) = 1$  è evidente che si abbia, rispettivamente,  $rk(adj(A)) = 3$  o  $rk(adj(A)) = 0$ ; quindi nel primo caso la conica duale è una conica liscia, mentre nel secondo caso non è proprio definita. Cosa succede se  $rk(A) = 2$ ; ovviamente la matrice aggiunta dovrà verificare  $adj(A) \cdot A = 0$ , e possiamo quindi vederla come la matrice dei coefficienti del sistema lineare  $adj(A) \cdot x = 0$ , con  $rk(x) = 2$ . Allora applicando il teorema della dimensione per i sistemi lineari abbiamo che  $rk(adj(A)) = 1$ . Quindi anche in questo caso la conica duale è definita ma sarà però singolare.

**Osservazione 3.3.2.** *Se  $\mathcal{C}$  è una conica singolare di rango 1, per ogni  $\mathcal{D}$  liscia esiste un  $n$ -poligono inscritto in  $\mathcal{D}$ , e quindi si ha che  $\mathcal{D}$  è Poncelet n-related a  $\mathcal{C}$ , poiché ogni retta del piano in questo caso è tangente alla conica  $\mathcal{C}$ . Viceversa, se  $\mathcal{C}$  è liscia allora, se  $\mathcal{D}$  è singolare di rango 1,  $\mathcal{D}$  in generale non è Poncelet n-related a  $\mathcal{C}$ .*

**Teorema 3.3.3.** *Fissata  $\mathcal{C}$  conica in  $\mathbb{P}^2$ , l'ipersuperficie  $H$  delle coniche Poncelet  $n$ -related a  $\mathcal{C}$  ha grado  $\frac{1}{4}T(n)$ .*

*Dimostrazione.* Sia  $\Gamma$  una conica liscia che parametrizza il fascio  $(\lambda\mathcal{C}^* + \mu\mathcal{D}^*)^*$  nello spazio  $\mathbb{P}^5$  di tutte le coniche. Se  $\lambda\mathcal{C}^* + \mu\mathcal{D}^*$  è singolare allora  $(\lambda\mathcal{C}^* + \mu\mathcal{D}^*)^*$  ha rango 1, e non è contenuta in  $H$ . Pertanto le intersezioni di  $\Gamma$  con  $H$  corrispondono esattamente alle intersezioni di  $\lambda\mathcal{C}^* + \mu\mathcal{D}^*$  con l'ipersuperficie  $K$  delle coniche a cui  $\mathcal{C}^*$  è Poncelet  $n$ -related, che sono  $\frac{1}{2}T(n)$  per il teorema 3.3.2. Quindi abbiamo che

$$\deg H = \frac{1}{2} \deg(\Gamma \cap H) = \frac{1}{4}T(n).$$

□

**Osservazione 3.3.3.** *Il ragionamento del teorema 3.3.3 non può essere invertito. Infatti la conica che parametrizza il fascio duale  $(\lambda\mathcal{C} + \mu\mathcal{D})^*$  contiene tre coniche doppie che sono sempre contenute in  $K$  e alterano il calcolo del grado. Si potrebbe dimostrare che  $(\lambda\mathcal{C} + \mu\mathcal{D})^*$  incontra  $K$  con molteplicità  $\frac{1}{4}T(n)$  in ciascuna delle coniche doppie.*

## 3.4 Equazioni per il Teorema di Poncelet

Siano  $\mathcal{D}$  e  $\mathcal{C}$  due coniche in  $\mathbb{P}^2$ , e indichiamo con  $A$  e  $B$  le rispettive matrici associate. Finora abbiamo dimostrato che:

- i.  $\mathcal{D}$  è Poncelet  $n$ -related a  $\mathcal{C}$  se e solo se le matrici associate alle coniche soddisfano una certa equazione  $f(A, B) = 0$ , cioè sono invarianti rispetto all'azione del gruppo  $SL(3)$ ;
- ii. questo invariante ha grado  $\frac{1}{4}T(n)$  in  $\mathcal{D}$  e  $\frac{1}{2}T(n)$  in  $\mathcal{C}$  (Formula di Gerbaldi).

### 3.4.1 $SL(3)$ -invarianti

Prima di ricavare la forma esplicita di questi invarianti, enunciamo il seguente teorema, che rientra nella teoria generale degli invarianti, e che occuperà un ruolo molto importante nella parte successiva di questo lavoro.

Siano  $A = (a_{ij})$  e  $B = (b_{ij})$  le matrici simmetriche associate a due coniche (non necessariamente non singolari), allora vale che:

**Teorema 3.4.1.** *Tutti gli  $SL(3)$ -invarianti della coppia  $(A, B)$  sono polinomi nei seguenti quattro, già incontrati nella proposizione 1.3.2:*

$$\Delta = \det(A)$$

$$\Theta = \text{tr}(B \cdot \text{adj}(A))$$

$$\Theta' = \text{tr}(A \cdot \text{adj}(B))$$

$$\Delta' = \det(B).$$

Tralasciamo la dimostrazione di questo teorema, poiché richiederebbe una conoscenza molto più approfondita della teoria degli invarianti (crf. [Dolga1]). Aggiungiamo comunque alcune osservazioni.

Sia  $D = \det(t_0A + t_1B)$ , allora  $D$  è un polinomio omogeneo di grado  $\leq 3$ . Cambiando coordinate sostituiamo  $A$  e  $B$  con  $Q^tAQ$  e  $Q^tBQ$ , dove  $Q$  è una matrice invertibile, e quindi  $D$  con  $\det(Q)^2D$ . Abbiamo così che i coefficienti di  $D$  sono invarianti sullo spazio delle coppie di forme quadratiche su  $\mathbb{C}^3$  rispetto all'azione del gruppo  $SL(3)$ . Per scrivere  $D$  esplicitamente basta utilizzare la seguente formula per il determinante della somma di due matrici  $n \times n$ :

$$\det(X + Y) = \sum_{k=1}^n \sum_{1 \leq i_1 < \dots < i_k \leq n} \Delta_{i_1, \dots, i_k},$$

dove  $\Delta_{i_1, \dots, i_k}$  è il determinante della matrice ottenuta da  $X$  sostituendo le colonne  $X_{i_1}, \dots, X_{i_k}$  con le colonne  $Y_{i_1}, \dots, Y_{i_k}$ . Applicando questa formula al nostro caso otteniamo proprio

$$D = \Delta t_0^3 + \Theta t_0^2 t_1 + \Theta' t_0 t_1^2 + \Delta' t_1^3.$$

Possiamo immediatamente riconoscere il significato geometrico dell'annullarsi dei coefficienti di  $D$ . Il coefficiente  $\Delta$  (risp.  $\Delta'$ ) si annulla se e solo se  $\mathcal{D}$  (risp.  $\mathcal{C}$ ) è una conica singolare. Se  $\Delta, \Delta'$  sono diversi da zero, allora il coefficiente  $\Theta$  si annulla se e solo se la conica  $\mathcal{C}$  è apolare a  $\mathcal{D}$ , e, rispettivamente,  $\Theta'$  si annulla se e solo se  $\mathcal{D}$  è apolare a  $\mathcal{C}$  (dalla proposizione 1.3.1 e dal teorema 1.4.1).

### 3.4.2 Equazione per le coniche Poncelet 3-related

A questo punto vogliamo proprio ricavare la condizione che devono soddisfare le matrici  $A$  e  $B$  affinché la conica  $\mathcal{D}$  sia Poncelet 3-related alla conica  $\mathcal{C}$ ,

cioè affinché esista un *triangolo* inscritto in  $\mathcal{D}$  e circoscritto a  $\mathcal{C}$ . Per prima cosa dobbiamo calcolare, con la formula di Gerbaldi il grado di questo invariante, e quindi quanto vale  $T(3)$ . Ricordiamo che  $T(n)$  è il numero di punti di  $n$ -torsione primitivi di una curva ellittica, o equivalentemente il numero degli elementi di ordine  $n$  nel gruppo abeliano  $(\mathbb{Z}/n\mathbb{Z})^2$ ; quindi abbiamo che  $T(3) = 8$ . L'invariante che vogliamo determinare ha quindi grado  $(2, 4)$ , cioè grado 2 in  $A$  e grado 4 in  $B$ , dove con  $A$  e  $B$  indichiamo per semplicità rispettivamente le coniche  $\mathcal{D}$  e  $\mathcal{C}$ . Poiché, dal teorema 3.4.1 sappiamo che tutti gli  $SL(3)$ -invarianti sono combinazioni lineari di polinomi in  $\Delta, \Delta', \Theta$  e  $\Theta'$ , che hanno grado rispettivamente  $(3, 0), (0, 3), (2, 1)$  e  $(1, 2)$ , dobbiamo determinare tutti i possibili monomi che danno come grado  $(2, 4)$  e farne una combinazione lineare, con coefficienti costanti da determinare. Si può osservare facilmente che le uniche possibilità sono in questo caso  $\Theta'^2$  e  $\Theta\Delta'$ . Quindi l'equazione che stiamo cercando avrà la forma

$$tr(A \cdot adj(B))^2 + ktr(B \cdot adj(A)) \det(B) = 0, \quad (3.1)$$

con  $k$  da determinare. L'idea per determinare  $k$  è quella di trovare un esempio di due coniche Poncelet 3-related, di sostituire le matrici associate nell'equazione (3.1) e ricavare  $k$ .

Prendiamo le coniche

$$\mathcal{D} : x^2 + y^2 - 4 = 0, \quad \mathcal{C} : x^2 + y^2 - 1 = 0;$$

le matrici associate alle coniche sono quindi matrici diagonali, e precisamente

$$A = \begin{pmatrix} 1 & 0 & 0 \\ 0 & 1 & 0 \\ 0 & 0 & -4 \end{pmatrix} \quad B = \begin{pmatrix} 1 & 0 & 0 \\ 0 & 1 & 0 \\ 0 & 0 & -1 \end{pmatrix}$$

Si può osservare facilmente che il triangolo equilatero di lato  $2\sqrt{3}$  è circoscritto a  $\mathcal{C}$  e inscritto in  $\mathcal{D}$ . Allora

$$adj(A) = \begin{pmatrix} -4 & 0 & 0 \\ 0 & -4 & 0 \\ 0 & 0 & 1 \end{pmatrix} \quad adj(B) = \begin{pmatrix} -1 & 0 & 0 \\ 0 & -1 & 0 \\ 0 & 0 & 1 \end{pmatrix}$$

e inoltre

$$A \cdot adj(B) = \begin{pmatrix} -1 & 0 & 0 \\ 0 & -1 & 0 \\ 0 & 0 & -4 \end{pmatrix} \quad B \cdot adj(A) = \begin{pmatrix} -4 & 0 & 0 \\ 0 & -4 & 0 \\ 0 & 0 & -1 \end{pmatrix}$$

A questo punto, sostituendo nell'equazione (3.1) otteniamo

$$(-6)^2 + k(-9)(-1) = 0,$$

quindi  $k = -4$ . Quindi possiamo concludere che se esiste un triangolo inscritto a  $\mathcal{D}$  e circoscritto a  $\mathcal{C}$  allora deve valere che  $\Theta'^2 - 4\Theta\Delta' = 0$ . Osserviamo però che questa equazione è un'equazione omogenea nel grado (2,4), quindi se fosse scomponibile come prodotto di due fattori entrambi dovrebbero essere SL(3)-invarianti e la somma dei loro gradi dovrebbe essere (2,4); ma le uniche possibilità sarebbero perciò o  $\Theta'\Theta'$  oppure  $\Theta\Delta'$  e ovviamente questo è assurdo. Abbiamo pertanto dimostrato il seguente teorema:

**Teorema 3.4.2.** *Siano  $\mathcal{D}$  e  $\mathcal{C}$  due coniche non singolari. Allora esiste un triangolo inscritto in  $\mathcal{D}$  e circoscritto a  $\mathcal{C}$  se e solo se*

$$\Theta'^2 - 4\Theta\Delta' = 0.$$

A questo punto siamo anche in grado di ricavare una condizione necessaria e sufficiente affinché esista un triangolo circoscritto ad una circonferenza e inscritto in un'altra, che dipende esclusivamente dai raggi delle due circonferenze e dalla distanza dei centri. Scegliamo per semplicità la circonferenza più interna centrata nell'origine; siano allora

$$\mathcal{D} : (x - x_0)^2 + (y - y_0)^2 - R^2 = 0 \quad \text{e} \quad \mathcal{C} : x^2 + y^2 - r^2 = 0;$$

quindi

$$A = \begin{pmatrix} 1 & 0 & -x_0 \\ 0 & 1 & -y_0 \\ -x_0 & -y_0 & a^2 - R^2 \end{pmatrix} \quad B = \begin{pmatrix} 1 & 0 & 0 \\ 0 & 1 & 0 \\ 0 & 0 & -r^2 \end{pmatrix}$$

dove  $a^2 = x_0^2 + y_0^2$ . Allora

$$\text{adj}(B) = \begin{pmatrix} -r^2 & 0 & 0 \\ 0 & -r^2 & 0 \\ 0 & 0 & 1 \end{pmatrix}$$

con un pò di calcoli otteniamo inoltre  $\det(A) = -R^2$  e

$$\text{adj}(A) = \begin{pmatrix} x_0^2 - R^2 & x_0 y_0 & x_0 \\ x_0 y_0 & y_0^2 - R^2 & y_0 \\ x_0 & y_0 & 1 \end{pmatrix}$$

L'equazione che abbiamo ricavato precedentemente è

$$\operatorname{tr}(A \cdot \operatorname{adj}(B))^2 - 4\operatorname{tr}(B \cdot \operatorname{adj}(A)) \det(B) = 0; \quad (3.2)$$

quindi dobbiamo calcolare  $A \cdot \operatorname{adj}(B)$  e  $B \cdot \operatorname{adj}(A)$ . Otteniamo

$$B \cdot \operatorname{adj}(A) = \begin{pmatrix} x_0^2 - R^2 & x_0 y_0 & x_0 \\ x_0 y_0 & y_0^2 - R^2 & y_0 \\ -r^2 x_0 & -r^2 y_0 & -r^2 \end{pmatrix}$$

$$A \cdot \operatorname{adj}(B) = \begin{pmatrix} -r^2 & 0 & -x_0 \\ 0 & -r^2 & -y_0 \\ x_0 r^2 & y_0 r^2 & a^2 - R^2 \end{pmatrix}$$

Inseriamo ora le tracce di queste due matrici nell'equazione (3.2), quindi abbiamo

$$(-2r^2 + a^2 - R^2)^2 - 4(a^2 - 2R^2 - r^2)(-r^2) = 0.$$

Facendo i calcoli otteniamo che questa equazione può essere scritta come prodotto di due fattori, e precisamente

$$(a^2 - R^2 - 2rR)(a^2 - R^2 + 2rR) = 0.$$

Poiché il primo fattore non si può annullare, altrimenti  $a^2 = R(R + 2r)$  mentre  $a^2 < R^2 < R(R + 2r)$ , ricaviamo la seguente proposizione:

**Proposizione 3.4.1. (*Formula di Eulero*)** *Siano date due circonferenze  $\mathcal{C}_i$  di centro  $P_i$  e raggio  $r_i$  per  $i = 1, 2$ . Supponiamo che  $\mathcal{C}_1$  sia interna a  $\mathcal{C}_2$ . Allora esiste un triangolo circoscritto a  $\mathcal{C}_1$  e inscritto a  $\mathcal{C}_2$  se e solo se  $d(P_1, P_2)^2 = r_2(r_2 - 2r_1)$ .*

Di questa formula, anche conosciuta come *Formula di Chapple*, esiste tuttavia una dimostrazione classica (vedi ultimo paragrafo di questo capitolo), neanche troppo difficile, ma sicuramente più laboriosa, che utilizza la geometria elementare.

### 3.4.3 Equazione per le coniche Poncelet 4-related

Procedendo analogamente al caso precedente vogliamo ora ricavare la condizione che devono soddisfare le matrici  $A$  e  $B$  affinché esista un *quadrilatero*

inscritto in  $\mathcal{D}$  e circoscritto a  $\mathcal{C}$ . Si può osservare con facilità che il numero degli elementi di ordine 4 nel gruppo abeliano  $(\mathbb{Z}/4\mathbb{Z})^2$  è 12, quindi abbiamo che  $T(4) = 12$ . Per la formula di Gerbaldi, l'invariante che vogliamo determinare ha perciò grado 3 in  $A$  e grado 6 in  $B$ . In questo caso tutte le possibili composizioni che danno come grado  $(3, 6)$  sono tre, e precisamente  $\Theta'^3$ ,  $\Theta'\Theta\Delta'$  e  $\Delta\Delta'^2$ ; quindi l'equazione che dobbiamo trovare ha la forma

$$\begin{aligned} tr(A \cdot adj(B))^3 + ktr(A \cdot adj(B))tr(B \cdot adj(A)) \det(B) + \\ + \mu \det(A) \det(B)^2 = 0, \end{aligned} \quad (3.3)$$

con  $k, \mu$  da determinare. Per determinarli questa volta saranno necessari due esempi diversi di coniche Poncelet 4-related. Vediamo il primo: siano

$$\mathcal{D} : x^2 + y^2 - \frac{1}{2} = 0, \quad \mathcal{C} : x^2 + y^2 - \frac{1}{4} = 0;$$

allora il quadrato di lato 1 è circoscritto a  $\mathcal{C}$  e inscritto in  $\mathcal{D}$ . Abbiamo quindi

$$\begin{aligned} A &= \begin{pmatrix} 1 & 0 & 0 \\ 0 & 1 & 0 \\ 0 & 0 & -\frac{1}{2} \end{pmatrix} & B &= \begin{pmatrix} 1 & 0 & 0 \\ 0 & 1 & 0 \\ 0 & 0 & -\frac{1}{4} \end{pmatrix} \\ adj(A) &= \begin{pmatrix} -\frac{1}{2} & 0 & 0 \\ 0 & -\frac{1}{2} & 0 \\ 0 & 0 & 1 \end{pmatrix} & adj(B) &= \begin{pmatrix} -\frac{1}{4} & 0 & 0 \\ 0 & -\frac{1}{4} & 0 \\ 0 & 0 & 1 \end{pmatrix} \\ A \cdot adj(B) &= \begin{pmatrix} -\frac{1}{4} & 0 & 0 \\ 0 & -\frac{1}{4} & 0 \\ 0 & 0 & -\frac{1}{2} \end{pmatrix} & B \cdot adj(A) &= \begin{pmatrix} -\frac{1}{2} & 0 & 0 \\ 0 & -\frac{1}{2} & 0 \\ 0 & 0 & -\frac{1}{4} \end{pmatrix} \end{aligned}$$

Sostituendo nell'equazione (3.3) otteniamo

$$(-1)^3 + k(-1) \left(-\frac{5}{4}\right) \left(-\frac{1}{4}\right) + \mu \left(-\frac{1}{2}\right) \left(-\frac{1}{4}\right)^2 = 0,$$

cioè

$$1 + \frac{5}{16}k + \frac{1}{32}\mu = 0. \quad (3.4)$$

Per ottenere l'altra equazione in  $k$  e  $\mu$  consideriamo le coniche

$$\mathcal{D} : x^2 + y^2 - 5 = 0, \quad \mathcal{C} : \frac{x^2}{4} + y^2 - 1 = 0;$$



si vede che il rettangolo di dimensioni 4 e 2 è inscritto in  $\mathcal{D}$  e circoscritto a  $\mathcal{C}$ . Questa volta abbiamo

$$\begin{aligned}
 A &= \begin{pmatrix} 1 & 0 & 0 \\ 0 & 1 & 0 \\ 0 & 0 & -5 \end{pmatrix} & B &= \begin{pmatrix} \frac{1}{4} & 0 & 0 \\ 0 & 1 & 0 \\ 0 & 0 & -1 \end{pmatrix} \\
 \text{adj}(A) &= \begin{pmatrix} -5 & 0 & 0 \\ 0 & -5 & 0 \\ 0 & 0 & 1 \end{pmatrix} & \text{adj}(B) &= \begin{pmatrix} -1 & 0 & 0 \\ 0 & -\frac{1}{4} & 0 \\ 0 & 0 & \frac{1}{4} \end{pmatrix} \\
 A \cdot \text{adj}(B) &= \begin{pmatrix} -1 & 0 & 0 \\ 0 & -\frac{1}{4} & 0 \\ 0 & 0 & -\frac{5}{4} \end{pmatrix} & B \cdot \text{adj}(A) &= \begin{pmatrix} -\frac{5}{4} & 0 & 0 \\ 0 & -5 & 0 \\ 0 & 0 & -1 \end{pmatrix}
 \end{aligned}$$

Sostituendo nell'equazione (3.3) otteniamo

$$\left(-\frac{5}{2}\right)^3 + k \left(-\frac{5}{2}\right) \left(-\frac{29}{4}\right) \left(-\frac{1}{4}\right) + \mu(-5) \left(-\frac{1}{4}\right)^2 = 0,$$

cioè

$$\frac{125}{8} + \frac{145}{32}k + \frac{5}{16}\mu = 0. \tag{3.5}$$

A questo punto se mettiamo a sistema le equazioni (3.4) e (3.5), ricaviamo  $k = -4$  e  $\mu = 8$ . Più elegantemente, in questo caso, si poteva anche scegliere una famiglia ad un parametro  $(\mathcal{D}, \mathcal{C}_t)$ , dove  $\mathcal{D}$  era una circonferenza fissata di raggio  $r$  e  $\mathcal{C}_t$  la famiglia di ellissi di equazione  $\frac{x^2}{t^2} + \frac{y^2}{r^2-t^2} = 1$ , ma provando a fare i calcoli veniva fuori un'equazione più complicata da utilizzare. Concludiamo osservando che l'equazione ottenuta  $\Theta^3 - 4\Theta\Theta'\Delta' + 8\Delta\Delta'^2 = 0$  è un'equazione irriducibile perchè omogenea nel grado (3, 6). Vale quindi il seguente teorema:

**Teorema 3.4.3.** *Siano  $\mathcal{D}$  e  $\mathcal{C}$  due coniche non singolari. Allora esiste un quadrilatero inscritto in  $\mathcal{D}$  e circoscritto a  $\mathcal{C}$  se e solo se*

$$\Theta^3 - 4\Theta\Theta'\Delta' + 8\Delta\Delta'^2 = 0.$$

Anche in questo caso se consideriamo come coniche due circonferenze, riusciamo a ricavare un'equazione, che dipende dai raggi delle circonferenze e

dalla distanza dei centri, che caratterizza le circonferenze Poncelet 4-related. Come nel caso dei triangoli scegliamo le circonferenze

$$\mathcal{D} : (x - x_0)^2 + (y - y_0)^2 - R^2 = 0 \quad e \quad \mathcal{C} : x^2 + y^2 - r^2 = 0.$$

L'equazione che abbiamo ottenuto nel caso dei quadrilateri è

$$\text{tr}(A \cdot \text{adj}(B))^3 - 4\text{tr}(A \cdot \text{adj}(B))\text{tr}(B \cdot \text{adj}(A)) \det(B) + 8 \det(A) \det(B)^2 = 0;$$

sostituendo otteniamo

$$(-2r^2 + a^2 - R^2)^3 - 4(-2r^2 + a^2 - R^2)(-r^2 + a^2 - 2R^2)(-r^2) + 8(-R^2)(-r^2)^2 = 0.$$

Facendo tutti i calcoli riusciamo a scriverci l'equazione in questo modo

$$(a^2 - R^2)[(a^2 - R^2) - 2r^2(a^2 + R^2)] = 0.$$

Ora poiché ovviamente  $a^2 - R^2$  non può essere uguale a zero, altrimenti  $\mathcal{C}$  non sarebbe interna a  $\mathcal{D}$ , abbiamo  $(a^2 - R^2) - 2r^2(a^2 + R^2) = 0$ . Vale quindi

**Proposizione 3.4.2. (Formula di Fuss)** *Siano date due circonferenze  $\mathcal{C}_i$  di centro  $P_i$  e raggio  $r_i$  per  $i = 1, 2$ . Supponiamo che  $\mathcal{C}_1$  sia interna a  $\mathcal{C}_2$  e sia  $d = d(P_1, P_2)$ . Allora esiste un quadrilatero circoscritto a  $\mathcal{C}_1$  e inscritto a  $\mathcal{C}_2$  se e solo se  $(d^2 - r_2^2)^2 = 2r_1^2(r_2^2 + d^2)$ .*

Anche di questa formula esiste una dimostrazione che utilizza la geometria elementare (vedi paragrafo successivo).

*In teoria potremo andare avanti con pentagoni, esagoni... perché sappiamo dal Teorema di Darboux che esiste un'equazione per ogni  $n$ . Purtroppo però il metodo che abbiamo utilizzato fino ad ora, nonostante la sua originalità, diventa troppo laborioso per  $n \geq 5$ .*

### 3.4.4 Dimostrazioni classiche della formula di Eulero e della formula di Fuss

Per permettere un confronto immediato riportiamo le dimostrazioni che di solito si trovano in letteratura delle formule di Eulero e di Fuss, prese da [Dorrie].

**Proposizione 3.4.3. (Formula di Eulero)** Siano date due circonferenze  $\mathcal{C}_i$  di centro  $P_i$  e raggio  $r_i$  per  $i = 1, 2$ . Supponiamo che  $\mathcal{C}_1$  sia interna a  $\mathcal{C}_2$  e sia  $d = d(P_1, P_2)$ . Allora esiste un triangolo circoscritto a  $\mathcal{C}_1$  e inscritto a  $\mathcal{C}_2$  se e solo se  $d^2 = r_2(r_2 - 2r_1)$ .

*Dimostrazione.* ( $\Rightarrow$ ) Sia  $ABC$  il triangolo circoscritto a  $\mathcal{C}_1$  e inscritto in  $\mathcal{C}_2$ . Prolunghiamo il segmento  $BP_1$  e indichiamo con  $D$  l'intersezione di questo con  $\mathcal{C}_2$ ; congiungiamo  $A$  con  $D$  e  $A$  con  $P_1$ , e indichiamo con  $\beta$  l'angolo  $P_1AC$  e con  $\alpha$  l'angolo  $D\hat{A}C$ .

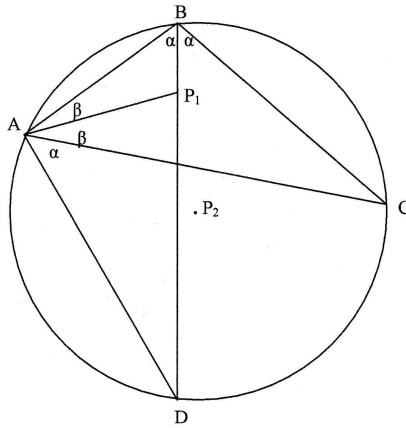


Figura 3.1: Triangolo  $ABC$  inscritto e circoscritto a due circonferenze

Allora gli angoli  $D\hat{A}C = D\hat{B}C = \alpha$ , perché insistono sullo stesso arco  $DC$ . Per il teorema delle corde si ha

$$BP_1 \cdot P_1D = (r_2 + d)(r_2 - d). \quad (3.6)$$

L'angolo  $AP_1\hat{D} = \alpha + \beta$ , perché angolo esterno del triangolo  $ABP_1$ . Quindi abbiamo che il triangolo  $AP_1D$  è isoscele, pertanto  $AD = DP_1$ .  $AD = 2r_2 \sin \alpha$ , perché è una corda sottesa ad un angolo  $\alpha$ , e  $BP_1 = \frac{r_1}{\sin \alpha}$ . Sostituendo in (3.6) otteniamo  $(r_2 + d)(r_2 - d) = 2r_1r_2$ , ossia la tesi.

( $\Leftarrow$ ) Prendiamo  $A \in \mathcal{C}_2$ . Traccio la retta passante per  $A$  e  $P_1$ , che interseca  $\mathcal{C}_2$  nel punto  $D$ . Dal punto  $A$  traccio le tangenti a  $\mathcal{C}_1$ , che intersecano  $\mathcal{C}_2$  nei punti  $B$  e  $C$ , e sono tangenti a  $\mathcal{C}_1$  in  $M$  e  $N$ . Congiungo  $B$  con  $C$ ; il

segmento  $BC$  interseca il segmento  $AD$  nel punto  $H$ . Congiungo  $D$  con  $C$ ,  $D$  con  $B$  e  $B$  con  $P_1$ .

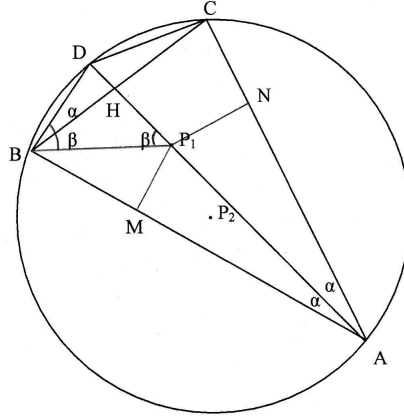


Figura 3.2: Formula di Eulero

Il segmento  $AD$  è bisettrice dell'angolo  $B\hat{A}C$  per costruzione, quindi  $B\hat{A}D = D\hat{A}C = \alpha$ , e si ha  $AP_1 = \frac{r_1}{\sin \alpha}$ . Per il teorema delle corde abbiamo  $AP_1 \cdot DP_1 = (r_2 + d)(r_2 - d)$ , cioè  $DP_1 = \frac{r_2^2 - d^2}{r_1} \sin \alpha$ . Poiché per ipotesi abbiamo che  $d^2 = r_2(r_2 - 2r_1)$ , ricaviamo che  $DP_1 = 2r_2 \sin \alpha$ . Anche  $DB = 2r_2 \sin \alpha$ , perché corda sottesa all'angolo  $\alpha$ , quindi il triangolo  $DBP_1$  è isoscele; indichiamo con  $\beta$  l'angolo  $D\hat{B}P_1 = D\hat{P}_1B$ . Gli angoli  $D\hat{B}C = D\hat{A}C = \alpha$ , perché insistono sullo stesso arco  $DC$ , quindi  $P_1\hat{B}A = \pi - \alpha - (\pi - \beta) = \beta - \alpha = C\hat{B}P_1$ . Allora  $BP_1$  è la bisettrice dell'angolo  $C\hat{B}A$ . Allo stesso modo si dimostra che  $CP_1$  è bisettrice dell'angolo  $B\hat{C}A$ . Possiamo perciò concludere che  $P_1$  è l'incontro delle bisettrici del triangolo  $ABC$ , quindi è il centro del cerchio inscritto; ma  $P_1$  è anche il centro di  $\mathcal{C}_1$ , che è tangente a  $AB$  e  $AC$ . Quindi  $\mathcal{C}_1$  è il cerchio inscritto e sarà tangente anche a  $BC$ . □

**Proposizione 3.4.4. (Formula di Fuss)** Siano date due circonferenze  $\mathcal{C}_i$  di centro  $P_i$  e raggio  $r_i$  per  $i = 1, 2$ . Supponiamo che  $\mathcal{C}_1$  sia interna a  $\mathcal{C}_2$  e sia  $d = d(P_1, P_2)$ . Allora esiste un quadrilatero circoscritto a  $\mathcal{C}_1$  e inscritto a  $\mathcal{C}_2$  se e solo se  $(d^2 - r_2^2)^2 = 2r_1^2(r_2^2 + d^2)$ .

*Dimostrazione.* Prima di tutto dimostriamo che: un quadrilatero  $PQRS$  è circoscritto a  $\mathcal{C}_1$  e inscritto a  $\mathcal{C}_2$  se e solo se i lati opposti  $PQ, RS, SP, QR$  sono tangenti a  $\mathcal{C}_1$  nei punti  $X, X', Y, Y'$ , estremi di due corde,  $XX'$  e  $YY'$ , di  $\mathcal{C}_1$  perpendicolari tra loro.

( $\Rightarrow$ ) Sia  $O$  il punto di intersezione di  $XX'$  con  $YY'$ .

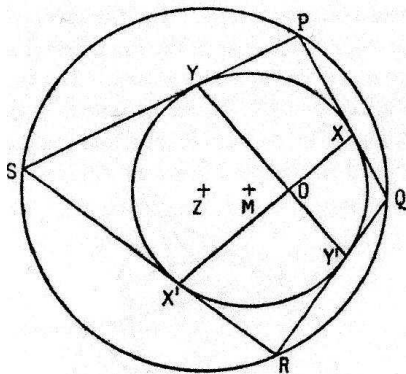


Figura 3.3: Quadrilatero inscritto e circoscritto a due circonferenze

Applicando il teorema della somma degli angoli interni di un quadrilatero ai due quadrilateri  $OXPY$  e  $OX'RY'$ , indicando gli angoli dei quadrilateri con le lettere corrispondenti ai vertici, otteniamo le equazioni

$$\hat{O} + \hat{X} + \hat{Y} + \hat{P} = 360^\circ, \quad \hat{O} + \hat{X}' + \hat{R} + \hat{Y}' = 360^\circ.$$

Poiché la somma degli angoli  $\hat{X}$  e  $\hat{X}'$  ( $\hat{Y}$  e  $\hat{Y}'$ ), situati da parti opposte del segmento  $XX'$  ( $YY'$ ), equivale a  $180^\circ$ , sommando le due equazioni precedenti ricaviamo

$$2\hat{O} + \hat{P} + \hat{R} = 360^\circ. \quad (3.7)$$

Quindi, dato che la somma dei due angoli opposti  $\hat{P}$  e  $\hat{Q}$  del quadrilatero  $PQRS$  è  $180^\circ$ , abbiamo che  $\hat{O} = 90^\circ$ , e cioè che le corde  $XX'$  e  $YY'$  sono perpendicolari tra loro.

( $\Leftarrow$ ) Dalla (3.7), poiché  $\hat{O} = 90^\circ$ , si ha che la somma degli angoli opposti  $\hat{P}$  e  $\hat{Q}$  deve fare  $180^\circ$ , cioè il quadrilatero  $PQRS$  è anche inscritto in una circonferenza  $\mathcal{C}_2$ .

A questo punto il modo più semplice per trovare la relazione tra i raggi e la distanza dai centri delle circonferenze inscritta e circoscritta è quello di risolvere il seguente problema:

*un angolo retto ruota attorno al suo vertice fisso, che si trova dentro una circonferenza; trovare il luogo dei punti di intersezione delle due tangenti alla circonferenza che passano per i punti di intersezione dei lati dell'angolo con la circonferenza. Sia  $\mathcal{C}_1$  la circonferenza; sia  $M$  il suo centro e  $r_1 = \rho$  il raggio. Sia  $O$  il vertice fisso dell'angolo retto che dista  $e$  da  $M$ . Siano  $X$  e  $Y$  i punti di intersezione dei lati dell'angolo con  $\mathcal{C}_1$ , e sia  $P$  il punto di intersezione delle tangenti da  $X$  e  $Y$ ; sia  $MP = p$  e  $\hat{PMO} = \varphi$ .*

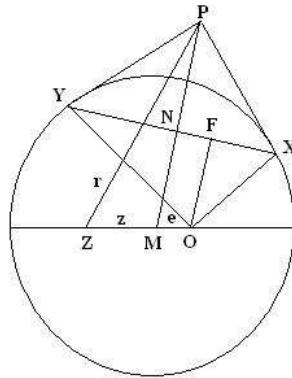


Figura 3.4: L'angolo  $X\hat{O}Y$  ruota attorno al suo vertice fisso  $O$

Poiché  $OXY$  è un triangolo retto abbiamo  $OF^2 = FX \cdot FY$ , dove  $F$  è il piede dell'altezza relativa all'ipotenusa. Introduciamo le proiezioni  $\rho' = MN$  e  $e' = e \cos \varphi$  su  $MP$  e,  $\rho'' = NX$  e  $e'' = e \sin \varphi (= NF)$  su  $XY$ . Allora l'equazione precedente può essere scritta  $(\rho' - e')^2 = (\rho'' - e'')(\rho'' + e'')$ , oppure

$$2\rho' - 2\rho'e \cos \varphi + e^2 = \rho^2. \quad (3.8)$$

Anche  $MXP$  è un triangolo retto, quindi  $MX^2 = MP \cdot MN$ , cioè

$$\rho^2 = p\rho'. \quad (3.9)$$

Ricavando  $\rho'$  dalla (3.9), e sostituendolo nella (3.8) otteniamo la seguente relazione:

$$p^2 + 2\frac{\rho e^2}{\rho^2 - e^2}p \cos \varphi = \frac{2\rho^4}{\rho^2 - e^2}. \quad (3.10)$$

Sia  $Z$  un punto che si trova sul prolungamento di  $OM$ , a distanza  $z$  da  $M$ ; la distanza  $r = ZP$  del punto  $Z$  da  $P$  è data dal teorema del coseno

$$r^2 = z^2 + p^2 + 2zp \cos \varphi. \quad (3.11)$$

Scegliendo

$$z = \frac{\rho^2}{\rho^2 - e^2}e, \quad (3.12)$$

e utilizzando la (3.10), possiamo riscrivere la (3.11) in questo modo

$$r^2 = z^2 + \frac{2\rho^4}{\rho^2 - e^2}, \quad (3.13)$$

e concludere che  $r$  ha un valore costante! Quindi il luogo dei punti che cerchiamo è una circonferenza  $\mathcal{C}_2$ , il cui centro  $Z$  è determinato dalla (3.12) e il suo raggio  $r$  dalla (3.13).

Siano  $Q, R, S$  i punti di intersezione delle tangenti a  $\mathcal{C}_1$  nei punti in cui il prolungamento di  $OX$  e  $OY$  incontra  $\mathcal{C}_1$ . Naturalmente  $Q, R, S$  appartengono a  $\mathcal{C}_2$ . Il quadrilatero  $PQRS$  è simultaneamente circoscritto a  $\mathcal{C}_1$  e inscritto in  $\mathcal{C}_2$ . Se ruotiamo l'angolo  $X\hat{O}Y$  attorno ad  $O$ , i punti  $X$  e  $Y$  descrivono la circonferenza  $\mathcal{C}_1$ , e il quadrilatero  $PQRS$  assume continuamente una posizione differente, ma sempre circoscritto a  $\mathcal{C}_1$  e inscritto in  $\mathcal{C}_2$ . Ricavando  $\rho^2 - e^2$  dalla (3.13), e sostituendolo in (3.12) otteniamo  $e = \frac{2z\rho^2}{(r^2 - z^2)^2}$ . Da questa segue  $\rho^2 - e^2 = \rho^2 \frac{[(r^2 - z^2)^2 - 4\rho^2 z^2]}{(r^2 - z^2)^2}$ . Sostituendo questo valore nella (3.13) otteniamo (finalmente!)

$$2\rho^2(r^2 + z^2) = (r^2 - z^2)^2.$$

□

# Appendice A

## Richiami di Geometria Algebrica

### A.1 Varietà Affini e Proiettive

Sia  $k$  un campo, che possiamo supporre algebricamente chiuso, e indichiamo con  $\mathbb{A}_k^n$  lo spazio affine  $n$ -dimensionale su  $k$ .

**Definizione A.1.1.** *Un sottoinsieme algebrico in  $\mathbb{A}^n$  è un sottoinsieme  $X \subset \mathbb{A}^n$  composto da tutti gli zeri comuni di un certo numero (finito) di polinomi a coefficienti in  $k$ .*

**Definizione A.1.2.** *Un insieme algebrico  $X \subset \mathbb{A}^n$  si dice irriducibile se non esiste una decomposizione*

$$X = X_1 \cup X_2 \text{ con } X_1, X_2 \subsetneq X$$

*di  $X$  come unione di due sottoinsiemi algebrici.*

Siano  $X \subset \mathbb{A}^n$  e  $Y \subset \mathbb{A}^m$  due sottoinsiemi algebrici.

**Definizione A.1.3.** *Una funzione  $f : X \rightarrow k$  si dice regolare (o polinomiale) se esiste un polinomio  $F(T)$  a coefficienti in  $k$  tale che  $f(x) = F(x)$  per ogni  $x \in X$ . L'insieme delle funzioni regolari da  $X$  in  $k$  si indica con  $k[X]$  ed è un anello che si chiama anello delle coordinate.*

*Un'applicazione  $g : X \rightarrow Y$  si dice regolare se esistono  $m$  funzioni regolari  $f_1, \dots, f_m$  su  $Y$  tali che  $g(x) = (f_1(x), \dots, f_m(x))$  per ogni  $x \in X$ .*

**Definizione A.1.4.** *Un'applicazione regolare  $f : X \rightarrow Y$  è un isomorfismo se esiste un'applicazione regolare  $g : Y \rightarrow X$  tale che  $f \circ g = g \circ f = Id$ .*



Viene chiamata *varietà affine* la classe di equivalenza degli isomorfismi polinomiali di ogni sottoinsieme algebrico irriducibile.

**Definizione A.1.5.** *Sia  $X$  una varietà affine. Allora il campo delle frazioni dell'anello  $k[X]$  è chiamato campo delle funzioni razionali su  $X$ , e si indica con  $k(X)$ . Una funzione razionale su  $X$  si scrive  $f : X \dashrightarrow k$ .*

**Definizione A.1.6.** *Una funzione razionale  $f \in k(X)$  si dice regolare in un punto  $P \in X$  se può essere scritta nella forma  $f = \frac{g}{h}$ , con  $g, h \in k[X]$  e  $h(P) \neq 0$ .*

**Definizione A.1.7.** *Sia  $X \subset \mathbb{A}^n$  una varietà affine e  $Y \subset \mathbb{A}^m$  un sottoinsieme algebrico. Un'applicazione razionale  $f : X \dashrightarrow Y$  è un'applicazione definita al di fuori degli zeri dei denominatori, data da  $m$  funzioni razionali  $f_1, \dots, f_m$  tale che  $(f_1, \dots, f_m) \in Y$  per ogni  $x \in X$ , con  $x$  punto regolare di ogni  $f_i$ .*

Sia  $\mathbb{P}_k^n := \mathbb{A}_k^{n+1} - \{0\} / \sim$  lo spazio proiettivo  $n$ -dimensionale, dove  $(\alpha_0 : \dots : \alpha_n) \sim (\beta_0 : \dots : \beta_n)$  se e solo se esiste  $\lambda \in k$ ,  $\lambda \neq 0$  tale che  $\alpha_j = \lambda \beta_j$ , per  $j = 0, \dots, n$ . I polinomi su  $\mathbb{P}^n$  in genere non definiscono delle funzioni, ma sono ben definiti i luoghi degli zeri di polinomi omogenei.

**Definizione A.1.8.** *Un sottoinsieme  $X \subset \mathbb{P}^n$  si dice un sottoinsieme algebrico proiettivo se è composto da tutti i punti di  $\mathbb{P}^n$  che azzerano simultaneamente un certo numero (finito) di polinomi omogenei a coefficienti in  $k$ .*

**Definizione A.1.9.** *Una varietà quasiproiettiva è un sottoinsieme aperto, rispetto alla topologia di Zariski, di un sottoinsieme algebrico proiettivo.*

Poiché tra i polinomi solo le costanti definiscono delle funzioni, per quanto riguarda le funzioni su  $\mathbb{P}^n$  si lavora solo con le funzioni razionali. In generale però neanche le funzioni razionali definite su un aperto sono funzioni su  $\mathbb{P}^n$ . Quindi fra queste vengono considerate solo quelle ottenute come quoziente di polinomi omogenei dello stesso grado. Se  $X \in \mathbb{P}^n$  è una varietà quasiproiettiva la definizione di regolarità per  $f : X \dashrightarrow k$  è la stessa di quella del caso affine.

**Definizione A.1.10.** *Sia  $X \in \mathbb{P}^n$  una varietà quasiproiettiva. Un'applicazione  $f : X \dashrightarrow \mathbb{A}^m$  è data da  $m$  funzioni razionali su  $X$  a valori in  $k$ . Se queste funzioni sono regolari su  $X$  allora l'applicazione si dice regolare.*

Infine consideriamo il caso generale, e più interessante, di applicazioni razionali da  $X \in \mathbb{P}^n$  a  $Y \in \mathbb{P}^m$ , varietà quasiproiettive, ricordando che lo spazio proiettivo  $\mathbb{P}^n$  può essere ricoperto da  $n+1$  aperti affini  $\mathbb{A}_i^n$ ,  $i = 0, \dots, n$ , con  $i$ -esima coordinata diversa da zero.

**Definizione A.1.11.** *Un'applicazione  $f : X \dashrightarrow Y$  è composta da  $m+1$  funzioni razionali su  $\mathbb{P}^n$ ,  $f = (f_0 : \dots : f_m)$ , ed è definita a meno di coefficienti di proporzionalità.  $f$  è regolare in  $x \in X$  se esiste una rappresentazione  $f = (f_0 : \dots : f_m)$  tale che per ogni  $j = 0, \dots, m$  si ha che  $f_j$  è regolare in  $x$ , e inoltre esiste  $j$  tale che  $f_j(x) \neq 0$ .*

A questo punto possiamo a definire la *dimensione* di una varietà affine qualsiasi. Un modo per arrivare a questa definizione è quello di passare attraverso la definizione di *spazio tangente* ad una varietà. Definiremo lo spazio tangente ad un punto  $x$  di una varietà affine  $X$  come l'insieme di tutte le rette che passano per  $x$  e toccano  $X$ . Vediamo cosa significa che una retta  $L \subset \mathbb{A}^n$  tocca una varietà  $X \subset \mathbb{A}^n$ . Possiamo supporre che il sistema di coordinate in  $\mathbb{A}^n$  sia stato scelto in modo che  $x$  coincide con l'origine  $O$ . Allora  $L = \{ta, t \in k\}$  e supponiamo che  $X$  sia data da un sistema di equazioni  $F_1 = \dots = F_m = 0$ . L'insieme  $X \cap L$  è quindi determinato dalle equazioni  $F_1(ta) = \dots = F_m(ta) = 0$ . Poiché ci occupiamo di polinomi in una sola variabile  $t$  le loro radici comuni sono le radici del loro MCD. Sia  $f(t) = \text{MCD}(F_1(ta), \dots, F_m(ta)) = C \prod (t - \alpha_i)^{l_i}$ . I valori  $t = \alpha_i$  corrispondono ai punti di intersezione di  $L$  con  $X$  e la molteplicità  $l_i$  viene interpretata naturalmente come molteplicità delle intersezioni di  $L$  con  $X$ . Osserviamo che, poiché  $O \in L \cap X$ ,  $t = 0$  è una radice di  $f(t)$ .

**Definizione A.1.12.** *La molteplicità di intersezione in un punto  $O \in L \cap X$  è la molteplicità della radice  $t = 0$  in  $f(t)$ .*

**Definizione A.1.13.** *Una retta  $L$  tocca  $X$  in un punto  $O$  se la molteplicità di intersezione in  $O$  è maggiore di 1.*

Vediamo ora quali sono le condizioni di tangenza di  $L$  e  $X$ . Poiché  $O \in X$ , i termini costanti degli  $F_i(T)$  sono nulli. Quindi possiamo scrivere  $F_i = L_i + G_i$  per ogni  $i = 1, \dots, m$ , dove  $L_i$  sono le parti lineari e  $G_i$  le parti di grado almeno 2. Allora  $F_i(at) = tL_i(a) + G_i(at)$  e  $G_i(at)$  è divisibile per  $t^2$ . Quindi  $F_i(at)$  è divisibile per  $t^2$  se e solo se  $L_i(a) = 0$ .

**Definizione A.1.14.** *Il sottospazio formato dalle rette che toccano  $X$  in  $x$  si chiama spazio tangente nel punto  $x$  a  $X$  e si indica con  $T_x X$ . Questo*

sottospazio è dato dalle equazioni  $L_1(a) = \dots = L_m(a) = 0$ , ed è quindi un sottospazio lineare.

Utilizzando lo sviluppo di Taylor degli  $F_i$  possiamo scrivere l'equazione dello spazio tangente nella forma  $\sum_{i=1}^n \left( \frac{\partial F_j}{\partial T_i} \right) (a) (T_i - a_i) = 0$   $j = 1, \dots, m$ . Se il rango della matrice  $((\partial F_j / \partial T_i)(a))$  è  $r$ , allora la dimensione di  $T_x X$  è  $n - r$ . Esiste quindi un numero  $s$  tale che  $\dim T_x X \geq s$  e quei punti  $y \in X$  per cui  $\dim T_y X > s$  formano un sottoinsieme chiuso di  $X$ , cioè una sottovarietà di dimensione più piccola.

**Definizione A.1.15.** *I punti  $x$  di una varietà irriducibile  $X$  per i quali  $\dim T_x X = s = \min \dim T_y X$  sono chiamati punti semplici; i rimanenti sono chiamati singolari.*

Come abbiamo già osservato i punti semplici formano un sottoinsieme aperto e non vuoto di  $X$  e i punti singolari un sottoinsieme chiuso di  $X$ .

**Definizione A.1.16.** *Se  $X$  è una varietà affine irriducibile. La dimensione di  $X$  è uguale alla dimensione dello spazio tangente ad un punto semplice.*

Osserviamo che se la varietà non è irriducibile la dimensione è uguale al massimo delle dimensioni delle sue componenti irriducibili.

## A.2 Teorema sulla Dimensione delle Fibre

**Teorema A.2.1.** *Se  $f : X \rightarrow Y$  è un'applicazione regolare tra varietà quasiproiettive irriducibili,  $f(X) = Y$ ,  $\dim X = n$ ,  $\dim Y = m$ , allora  $m \leq n$  e*

- 1)  $\dim f^{-1}(y) \geq n - m$  per ogni  $y \in Y$ ;
- 2) in  $Y$  esiste un insieme aperto e non vuoto  $U$  tale che  $\dim f^{-1}(y) = n - m$  per ogni  $y \in U$ .

In realtà ci sono alcuni casi in cui la 2) non vale per ogni  $y \in Y$ , cioè la dimensione di una fibra può saltare in alcuni punti. Vediamone un esempio: Consideriamo il problema della disposizione delle rette su una superficie in  $\mathbb{P}^3$ . Una retta  $L \subset \mathbb{P}^3$  corrisponde ad un piano  $P$  in uno spazio vettoriale  $V$  di dimensione 4.  $P$  ha quindi una base formata da due vettori,  $x = (x_0, \dots, x_3)$

e  $y = (y_0, \dots, y_3)$ , che determina  $p = x \wedge y \in \Lambda^2 V$ , dove  $p_{ij} = x_i y_j - y_i x_j$  con  $i, j = 0, \dots, 3$ . Ovviamente vale anche il viceversa, cioè dato  $p$  determino univocamente il piano  $P$ . La 2-forma  $p$  ha 16 coordinate che sono collegate dalle relazioni  $p_{ii} = 0$  e  $p_{ij} = -p_{ji}$ ; quindi ci sono 6 coordinate indipendenti  $p_{01}, p_{02}, p_{03}, p_{12}, p_{13}, p_{23}$ . Abbiamo cioè che ogni retta  $L \subset \mathbb{P}^3$  determina  $[p_{01} : p_{02} : p_{03} : p_{12} : p_{13} : p_{23}] \in \mathbb{P}^5$ . Per il viceversa bisogna però che valga  $p_{01}p_{23} - p_{02}p_{13} + p_{03}p_{12} = 0$ , cioè ogni punto che soddisfa questa relazione corrisponde ad una retta. Ricordiamo inoltre che l'equazione precedente definisce quella che si chiama Quadrica di Klein. I punti che soddisfano questa relazione formano un'ipersuperficie  $\pi$  di grado 2 in  $\mathbb{P}^5$ ,  $\dim \pi = 4$ . In conclusione le rette  $L \subset \mathbb{P}^3$  sono in corrispondenza biunivoca con i punti di  $\pi$ . Per un dato  $m$  consideriamo lo spazio  $\mathbb{P}^\nu$ , i cui punti corrispondono alle superfici di grado  $m$  in  $\mathbb{P}^3$ ; quindi  $\nu = \binom{m+3}{3} - 1$ .

Sia  $m = 2$ . Lo spazio  $\mathbb{P}^9$  è perciò in corrispondenza biunivoca con le quadriche di  $\mathbb{P}^3$ . Consideriamo  $\Gamma_2 \subset \mathbb{P}^9 \times \pi$  definito dalle coppie  $(\xi, \eta) \in \mathbb{P}^9 \times \pi$  per le quali la retta  $L$  corrispondente a  $\eta \in \pi$  è contenuta nella quadrica corrispondente al punto  $\xi \in \mathbb{P}^9$ , e cerchiamo di calcolare la dimensione di  $\Gamma_2$ . Consideriamo le proiezioni  $\varphi : \mathbb{P}^9 \times \pi \rightarrow \mathbb{P}^9$  e  $\psi : \mathbb{P}^9 \times \pi \rightarrow \pi$ . Ovviamente sono applicazioni regolari su tutto  $\mathbb{P}^9 \times \pi$  ma consideriamole solo su  $\Gamma_2$ . Osserviamo che  $\psi(\Gamma_2) = \pi$ : infatti attraverso ogni retta passa almeno una quadrica. Determiniamo a questo punto le dimensioni delle fibre  $\psi^{-1}(\eta)$  di  $\psi$ . Tramite una trasformazione proiettiva possiamo supporre che la retta  $L$  corrispondente a  $\eta$  sia definita dalle equazioni  $u_0 = 0, u_1 = 0$ . I punti  $\xi \in \mathbb{P}^9$  tali che  $(\xi, \eta) \in \psi^{-1}(\eta) \subset \Gamma_2$ , corrispondono alle quadriche passanti per questa retta. L'equazione di queste quadriche ha la forma  $F = 0$ , dove  $F = u_0 G + u_1 H$  con  $G, H$  forme di grado 1: infatti in generale posso scrivere  $F = u_0 G + u_1 H + K(u_2, u_3)$ , ma poiché  $F(0, 0, u_2, u_3) = 0$ , per ogni  $u_2, u_3$ , per il principio di identità dei polinomi si ha che  $K(u_2, u_3) \equiv 0$ . L'insieme delle quadriche che contengono  $L$  (indichiamolo con  $\mathcal{K}$ ) corrisponde ad un sottospazio lineare di  $\mathbb{P}^9$ , la cui dimensione può essere calcolata come segue: consideriamo la successione esatta

$0 \rightarrow \mathcal{K} \rightarrow \{\text{quadriche di } \mathbb{P}^3\} \rightarrow \{\text{quadriche su } L\} \rightarrow 0$ , dove le due applicazioni centrali sono la prima iniettiva e l'altra suriettiva; abbiamo quindi che  $\{\text{quadriche su } L\} = \{\text{quadriche di } \mathbb{P}^3\} / \mathcal{K}$ , cioè

$\dim \mathcal{K} = \dim\{\text{quadriche di } \mathbb{P}^3\} - \dim\{\text{quadriche su } L\} = 7$ . In conclusione le quadriche passanti per  $L$  corrispondono a punti di  $\mathbb{P}^6$ . Quindi  $\dim \psi^{-1}(\eta) = 6$ ; per la parte 2) del teorema A.2.1 applicato alla funzione

$\psi$  abbiamo  $\dim(\Gamma_2) = \dim \psi(\Gamma_2) + \dim \psi^{-1}(\eta) = 10$ . Consideriamo l'altra proiezione  $\varphi : \Gamma_2 \rightarrow \mathbb{P}^9$ ; ovviamente  $\dim \varphi(\Gamma_2) \leq \dim \Gamma_2$ . Applichiamo la parte 1) del teorema A.2.1 a  $\varphi$ , allora  $\dim \varphi^{-1}(\xi) \geq 10 - 9 = 1$ . A questo punto siamo proprio arrivati di fronte al fenomeno del salto della dimensione della fibra: infatti se la quadrica è irriducibile per i punti corrispondenti si ha  $\dim \varphi^{-1}(\xi) = 1$ , ma se la quadrica degenera in due piani allora  $\dim \varphi^{-1}(\xi) = 2$ .

# Bibliografia

- [BB] W. BARTH, TH. BAUER: *Poncelet Theorems*. Exposition. Math. 14, 125-144 (1996)
- [Dolga1] IGOR DOLGACHEV: *Lectures on Invariant Theory*. Cambridge University Press, (2003)
- [Dolga2] IGOR DOLGACHEV: *Topics in Classical Geometry*. Lecture Notes available at <http://www.math.lsa.umich.edu/~idolga>
- [Dorrie] HEINRICH DÖRRIE: *100 Great Problems of Elementary Mathematics*. Dover Publications Inc., (1965)
- [FT] D.FUCHS, S.TABACHNIKOV: *Mathematical Omnibus*. American Mathematical Society, (2007)
- [GRT] F.GHERARDELLI, L.ROSATI, G.TOMASSINI: *Lezioni di Geometria*. CEDAM, Padova (1978)
- [Mira] RICK MIRANDA: *Algebraic Curves and Riemann Surfaces*. American Mathematical Society (1997)
- [Reid] MILES REID: *Undergraduate Algebraic Geometry*. Cambridge University Press, (1988)
- [Sha] I.R.SHAFAREVICH: *Basic Algebraic Geometry*. Springer-Verlag Berlin Heidelberg New York, (1977)
- [Ser] E. SERNESI: *Geometria 2*. Bollati Boringhieri Editore, Torino (2000)